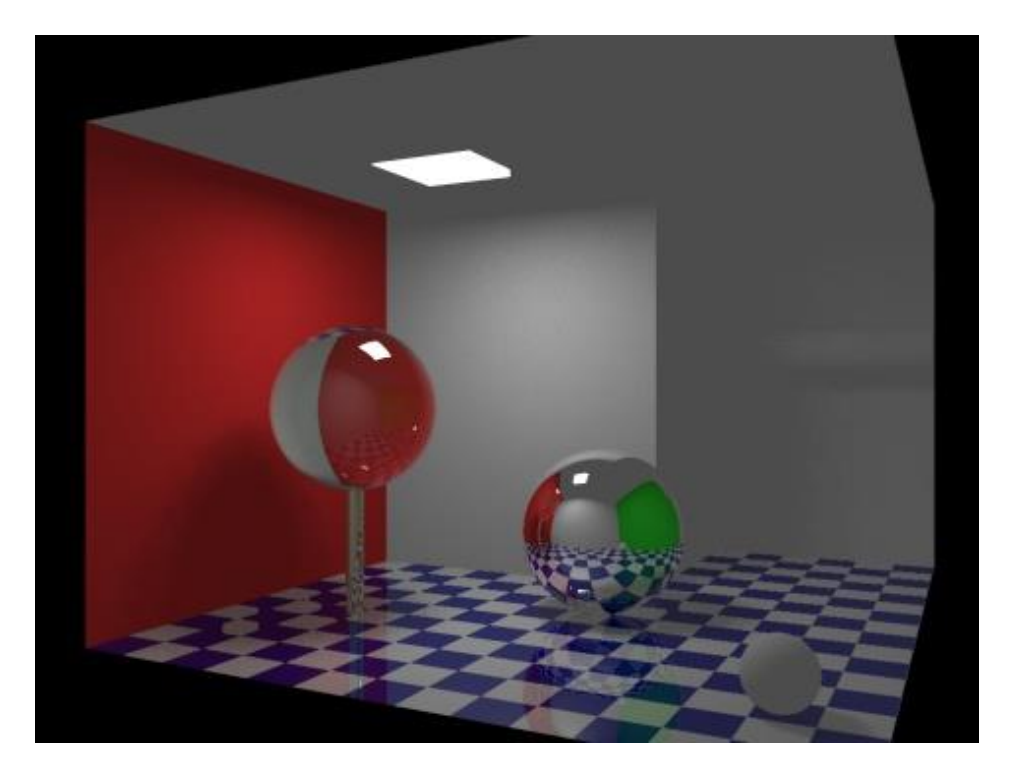
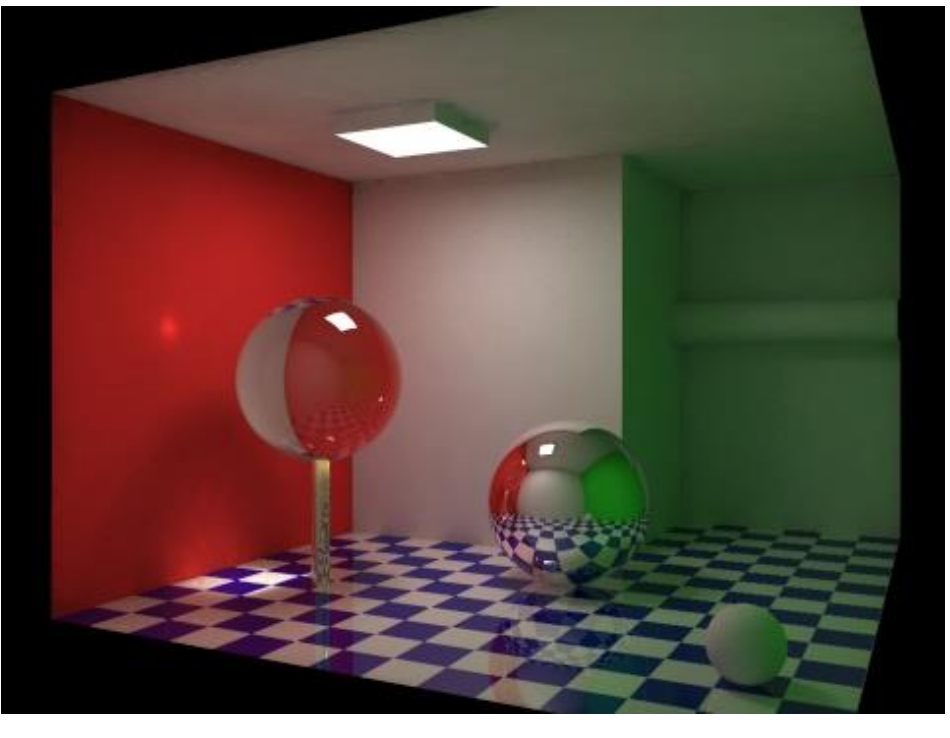
# Реалистичный рендеринг (realistic rendering)

Компьютерная графика

#### Рендеринг. Локальное и глобальное освещение





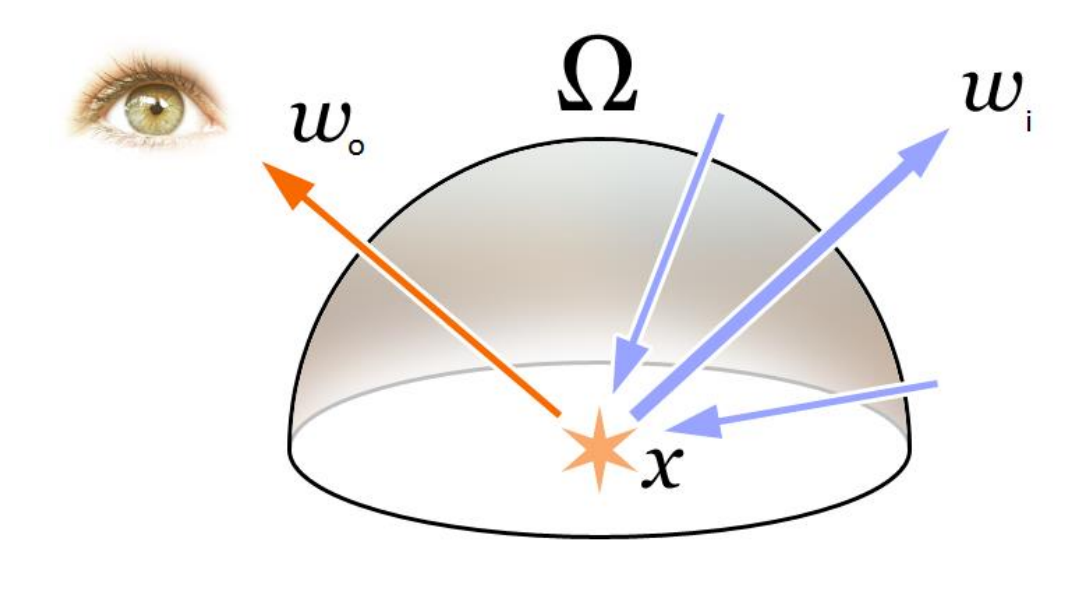
Изображение, обработанное только алгоритмами локального (прямого) освещения

Изображение, обработанное алгоритмами глобального освещения

Источник: Wikipedia. Корнуэльская комната

• интегральное уравнение, которое определяет количество светового излучения в определённом направлении как сумму собственного и отражённого излучения, учитывая функцию входящего излучения и двунаправленную функцию распределения отражения

wiki



$$L_{
m o}(\mathbf{x},\,\omega_{
m o},\,\lambda,\,t)\,=\,L_{e}(\mathbf{x},\,\omega_{
m o},\,\lambda,\,t)\,+\,\int_{\Omega}f_{r}(\mathbf{x},\,\omega_{
m i},\,\omega_{
m o},\,\lambda,\,t)\,L_{
m i}(\mathbf{x},\,\omega_{
m i},\,\lambda,\,t)\,(\omega_{
m i}\,\cdot\,\mathbf{n})\;\mathrm{d}\,\omega_{
m i}$$

λ — длина волны света

t — время

L<sub>o</sub> — общее спектральное излучение

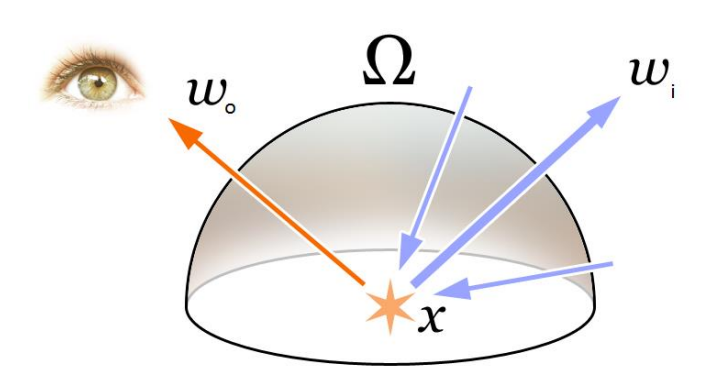
L<sub>е</sub> — собственный излучённый свет

 $\int_{\Omega}$  — интеграл берётся по полусфере входящих направлений

f<sub>r</sub> — **д**вулучевая функция отражения / bidirectional reflectance distribution function

L<sub>i</sub> — излучение по входящему направлению

w<sub>i</sub>•n — cos θ — фактор ослабления внешнего излучения за счет угла падения



- Впервые было опубликовано в работах David Immel [1] и James Kajiya [2] в 1986 году.
- Хотя уравнение является очень общим, оно не отражает все аспекты отражения света.

- 1. Immel, David S.; Cohen, Michael F. & Greenberg, Donald P. (1986), "A radiosity method for non-diffuse environments", Siggraph 1986: 133
- 2. Kajiya, James T. (1986), "<u>The rendering equation</u>", Siggraph 1986: 143, doi:10.1145/15922.15902

#### Некоторые отсутствующие аспекты

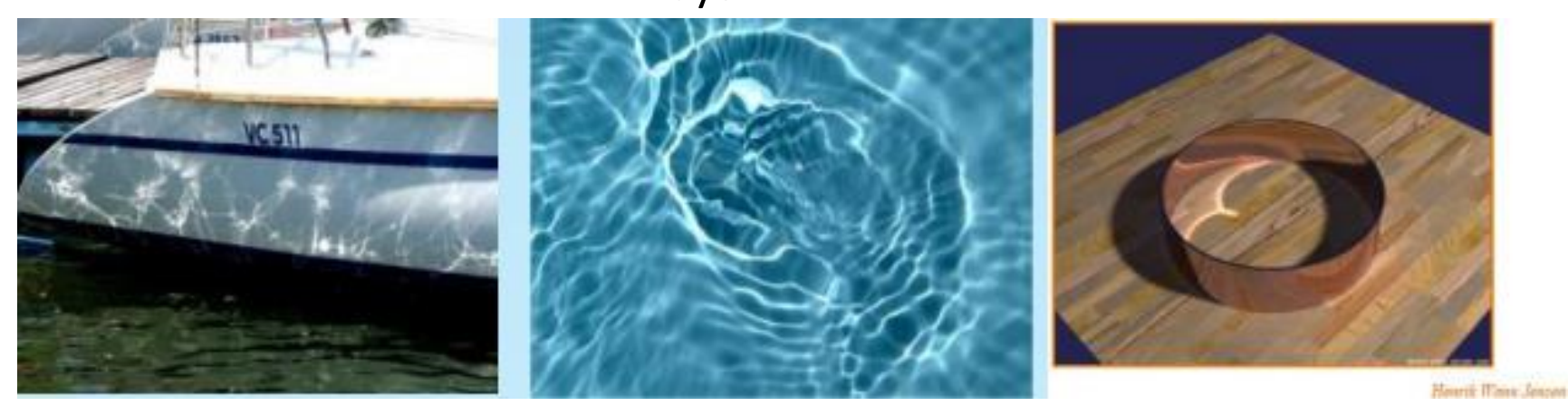
- Transmission Прохождение света через поверхность, например, через стеклянный объект или поверхность воды
- Subsurface scattering Подповерхностное рассеивание. Поверхности, отображаемые без его учёта, могут казаться непрозрачными
- Polarization Поляризация, например, когда свет отражается от поверхности воды
- Phosphorescence Фосфоресценция, которая возникает, когда свет или другое электромагнитное излучение поглощается в один момент времени и испускается в более поздний момент времени, как правило, с более длинной длиной волны
- Interference Интерференция, где проявляются волновые свойства света
- Fluorescence Флуоресценция, где поглощенный и испускаемый свет зависит от длины волны

#### Ещё некоторые отсутствующие аспекты

- Каустики Световые узоры, которые появляются при преломлении или отражении световых лучей от поверхности
- Non-linear effects Нелинейные эффекты, при которых очень интенсивный свет может повысить энергетический уровень электрона с большей энергией, чем у одного фотона (это может произойти, если электрон ударяется одновременно двумя фотонами). И излучение света с большей частотой, чем частота света, попадающего на поверхность, неожиданно становится возможным
- Relativistic Doppler effect Релятивистский эффект Доплера Изменение частоты и, соответственно, длины волны излучения, воспринимаемое наблюдателем, вследствие движения источника излучения и/или движения наблюдателя

# Световые эффекты. Проблемы моделирования. Глобальное освещение

#### Каустики



Рассеивание света



# Световые эффекты. Проблемы моделирования. Глобальное освещение

Радуга: рефракция и полное внутреннее отражение в капле



HDR

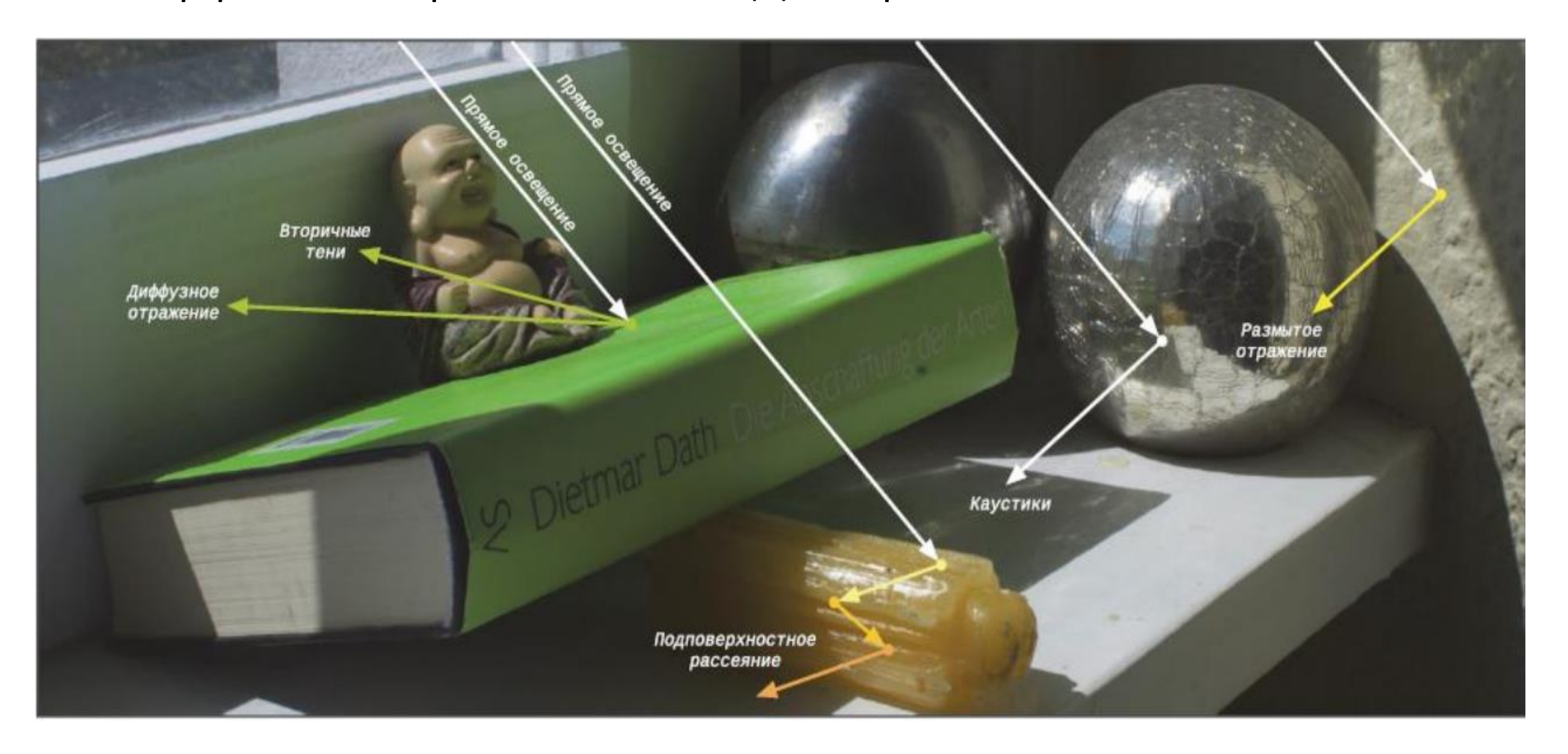


Освещение отраженным светом





### Световые эффекты. Проблемы моделирования. Глобальное освещение



Примеры эффектов из публикации Ritschel T., Dachsbacher C., Grosch T., Kautz J. The state of the Art in Interactive Glabal Illumination // Computer Graphics Forum. – 2012. –February. –Vol.31, no.1. –Pp.160-188

- Решение уравнения рендеринга для любой конкретной сцены является главной задачей в реалистичном рендеринге (realistic rendering)
- Т.к. это уравнение **не имеет аналитического** решения, на практике применяются различные **подходы к** его **аппроксимации**.

#### Различные алгоритмы КГ решают это основное уравнение

- Один из подходов к решению уравнения основан на методах конечных элементов, приводящих к алгоритму излучения radiosity.
- Другой подход, использующий методы Монте-Карло, привёл, в частности, к созданию множества различных алгоритмов, включая:
  - трассировку путей path tracing,
  - отображение фотонов photon mapping,
  - легкий транспорт Метрополиса Metropolis light transport
- Кроме того:
  - beam tracing,
  - cone tracing,
  - ambient occlusion,
  - image based lighting.

#### Наиболее известны

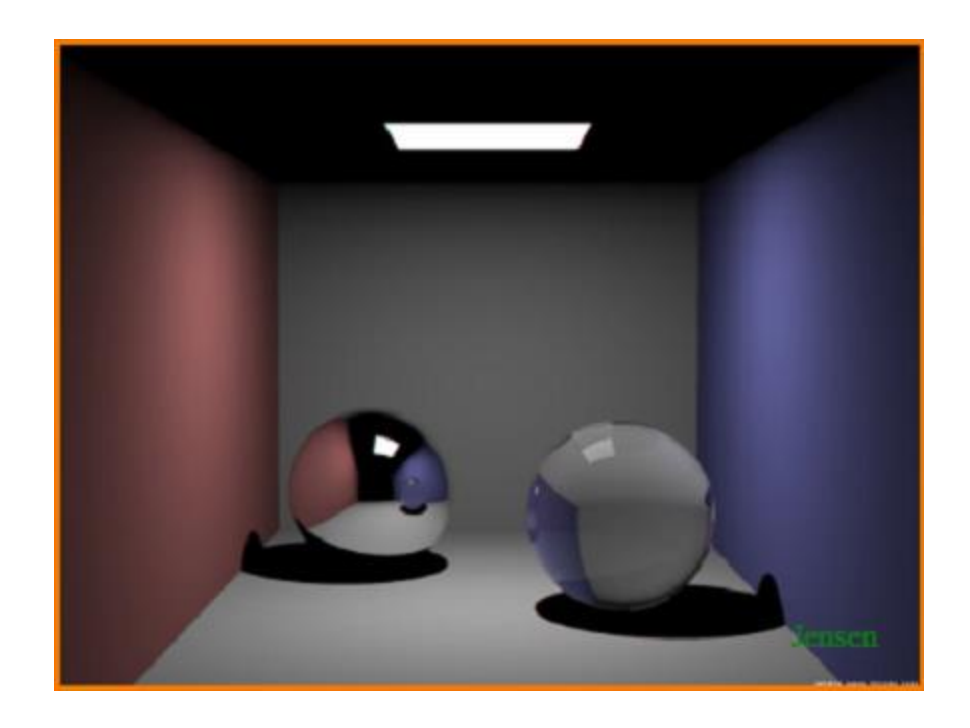
- Метод трассировки лучей (Ray tracing) (1968)
- Метод трассировки путей (Path tracing) (1986)
- Radiosity (Michael F. Cohen, John R. Wallace, 1995)
- Photon Mapping (Henrik Wann Jensen, 1996)

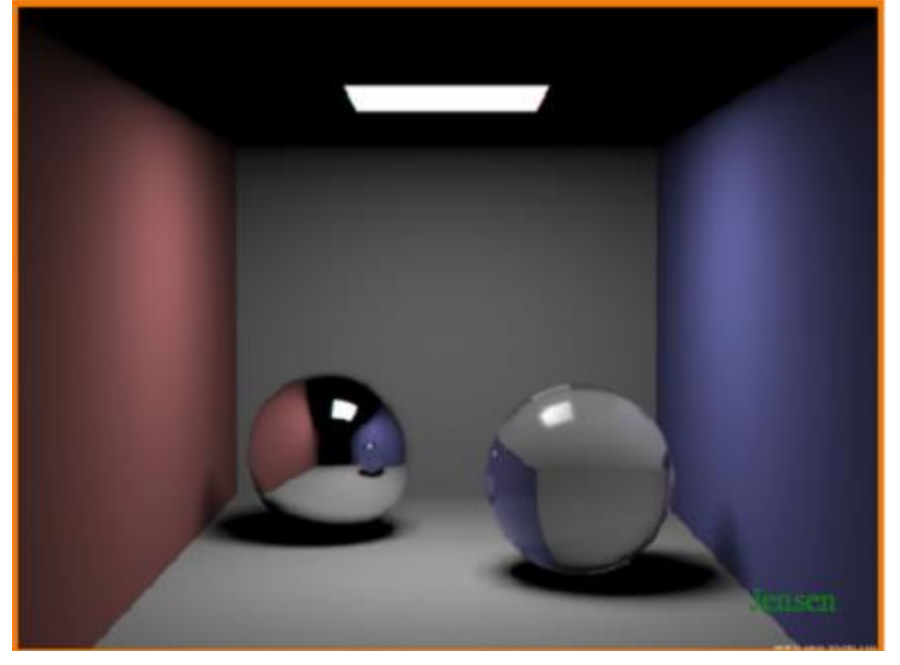
# Трассировка лучей — как общая технология

Трассировка лучей — как **общая технология**, включает **все методы** просчета движения, отражения и преломления лучей света, исходящих от камеры и прослеживающих путь к источнику света для создания физически корректной картинки.

**Ray tracing** – первый метод расчёта глобального освещения, рассматривающий освещение, расчёт тени, многократные отражения и преломления.

#### Подходы к упрощению основного уравнения освещённости



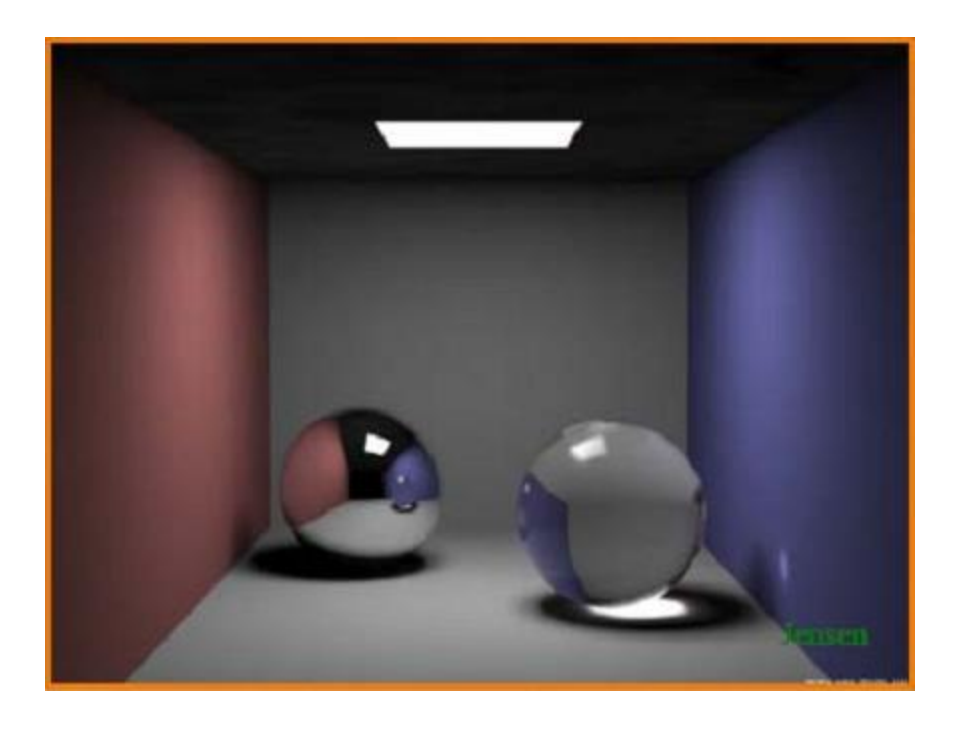


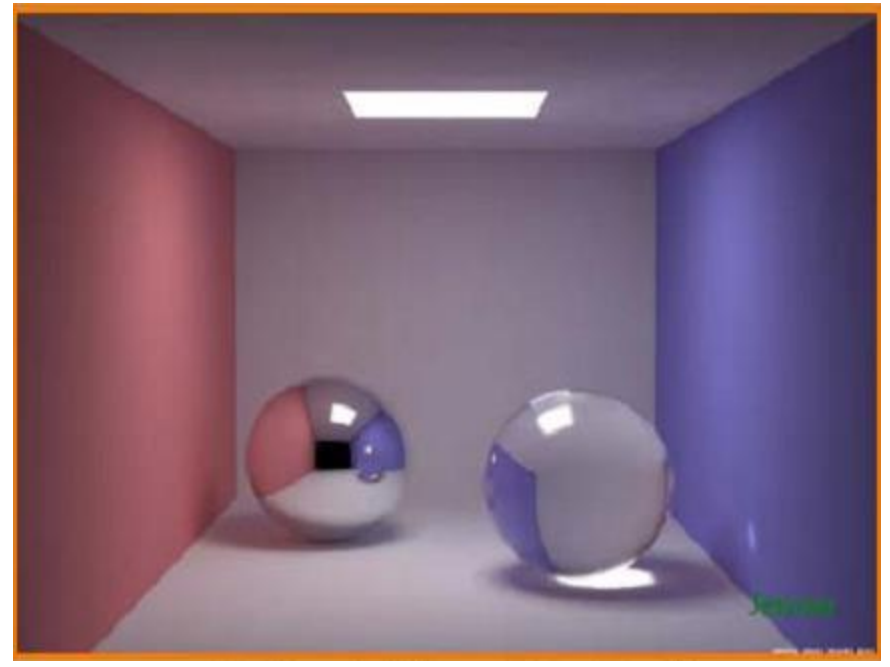
**Ray Tracing** 

Henrik Wann Jensen

+ soft shadows

#### Подходы к упрощению основного уравнения освещённости





+caustics

Henrik Wann Jensen

+ indirect diffuse illumination

# Классический ray tracing (метод трассировки лучей)

- предложен Артуром Аппелем (Arthur Appel, который в **1968** году описал технику прослеживания лучей между поверхностью и источником света для создания освещения с тенями эту работу нередко упоминают, как **первое применение трассировки** лучей в рендеринге.
- дополнен алгоритмом общей рекурсии, разработанным Whitted в 1980 году
- понадобилось почти 12 лет эволюции вычислительных систем, прежде чем этот алгоритм стал доступен для широкого применения в практических приложениях

#### Вклад Тернера Уиттеда

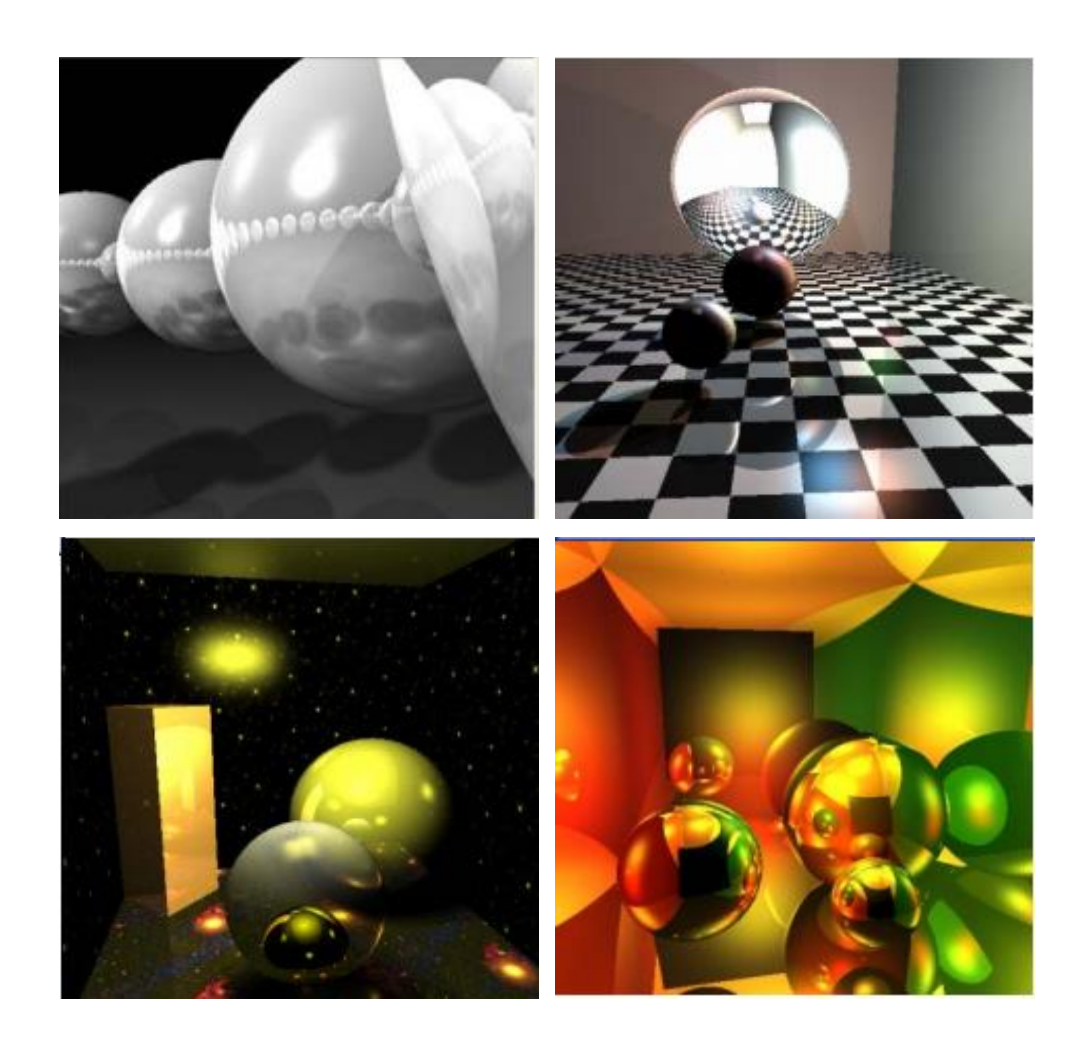
Технология трассировки лучей для визуализации впервые была представлена **Тернером Уиттедом** в работе **1979** года под названием "Улучшенная модель освещения для затененного отображения".

Публикация Уиттеда включала не только трассировку лучей для **генерирования теней**, но и для **вторичного влияния света** от **отражений** и преломлений.

Такой метод значительно повысил реализм, но был лишен вторичного рассеянного освещения.

#### Суть метода трассировки лучей

- Суть метода: отслеживание траекторий лучей и расчёта взаимодействий с лежащими на траекториях объектами, от момента испускания лучей источником света до момента попадания в камеру.
- Под взаимодействием луча с объектами понимаются процессы:
  - диффузного отражения (в смысле модели локальной освещённости),
  - многократного зеркального отражения от их поверхности
  - прохождение лучей сквозь прозрачные объекты

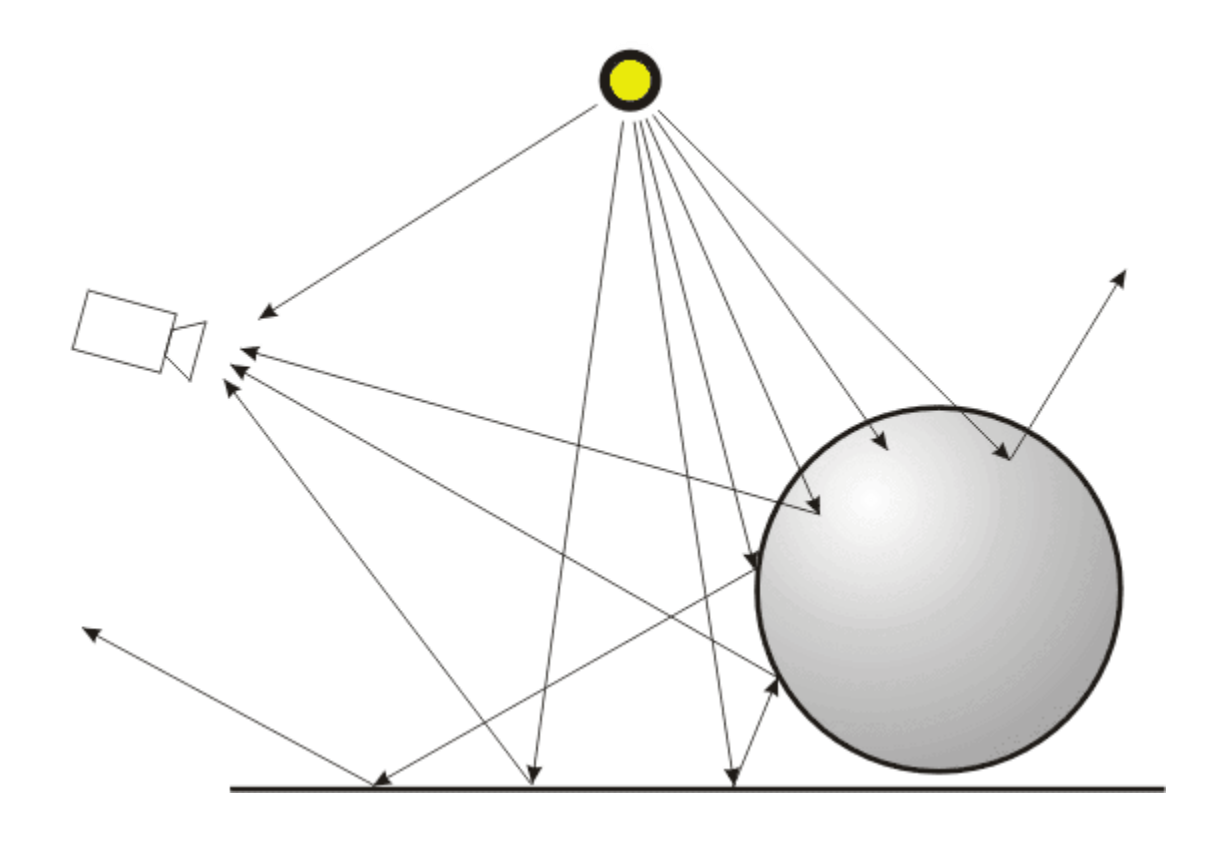


Результаты трассировки лучей на процессоре Core 2 Duo, полученные стажёрами Зимней школы 2008 по компьютерной графике (Intel-HHГУ). 512х512ріх. Время— порядка 1 мин.

# Трассировка лучей (Ray tracing). Прямая и обратная трассировка

- Различают два подхода к трассировке лучей:
  - метод прямой трассировки forward ray tracing
  - метод обратной трассировки backward ray tracing
- Ray tracing не использует модели шейдинга
- Расчёт освещённости «честно» выполняется во всех точках пересечения лучей и объектов

# Прямая трассировка лучей. (Forward ray tracing)

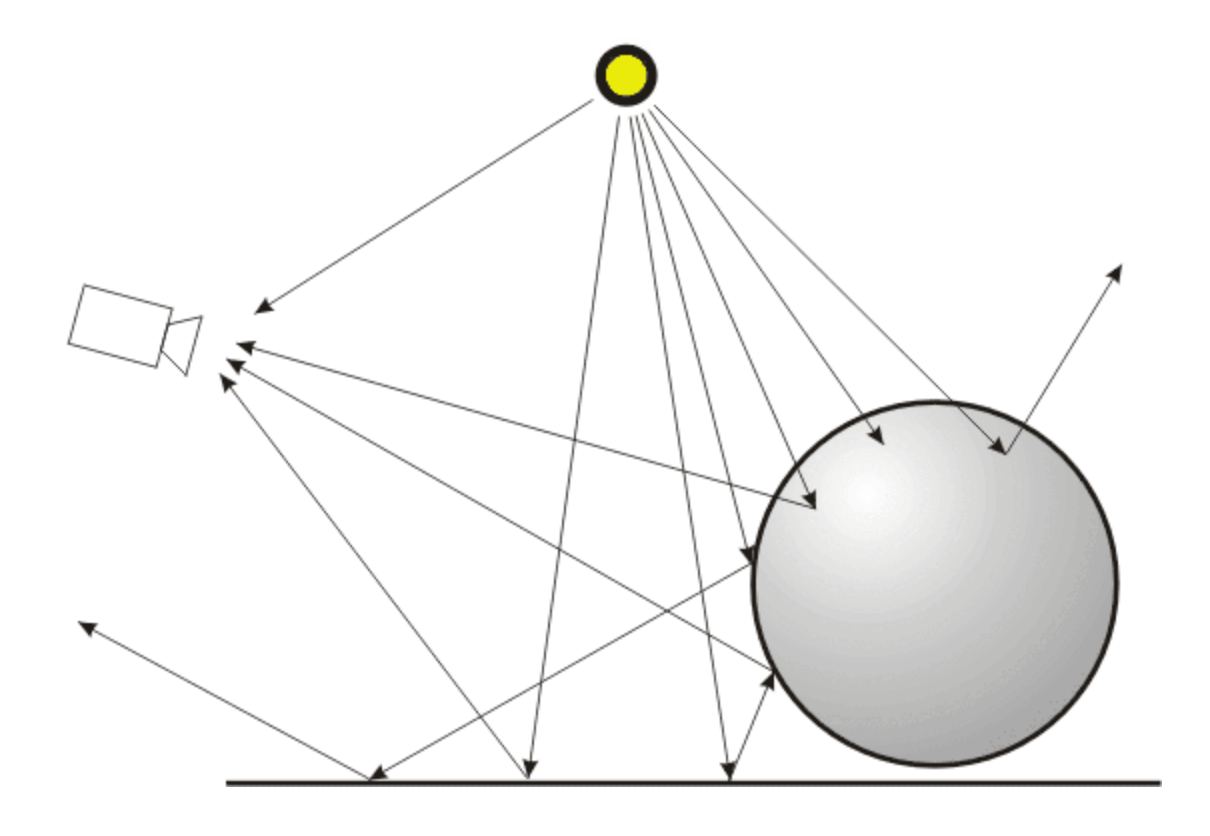


Лучи должны быть построены от каждого источника освещения ко всем точкам поверхностей всех объектов сцены и отслежены в соответствии с законами отражения и преломления.

### Три исхода для лучей

- Луч выходит за пределы видимой из камеры области сцены расчёты отбрасываются
- Луч попадает в камеру формируется цвет
- Луч встречает на своем пути новый объект рекурсивно продолжается расчёт

# Давайте посчитаем



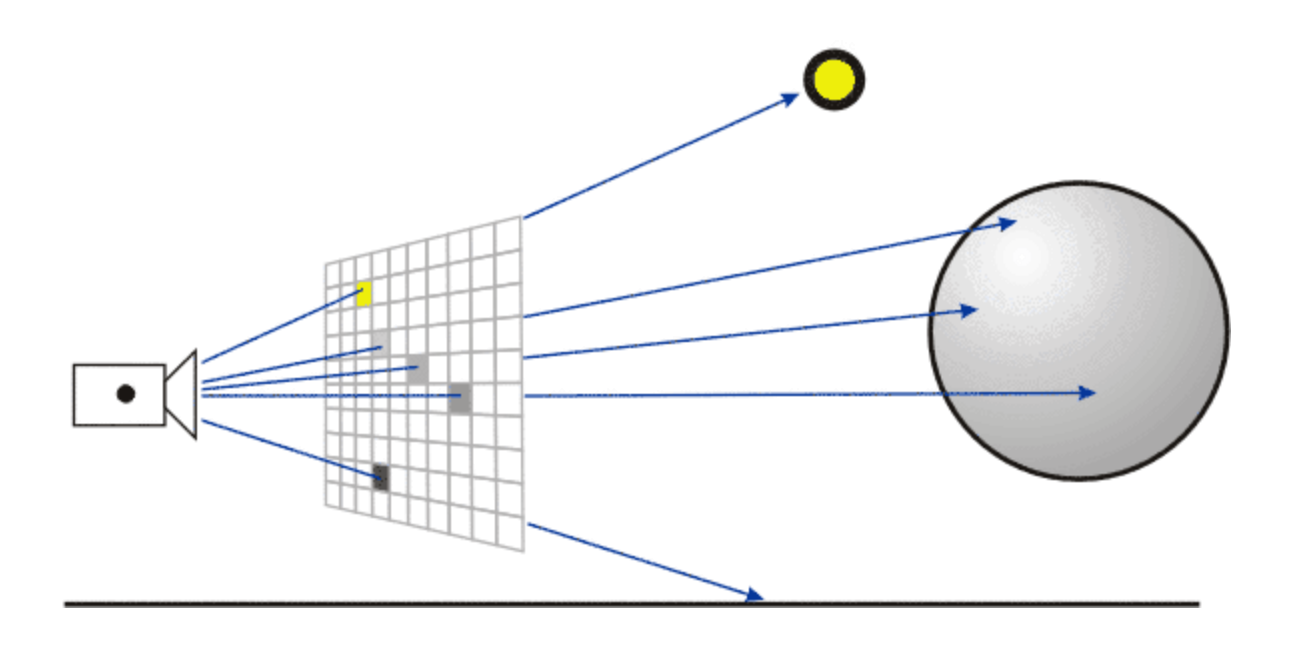
Лучи должны быть построены от каждого источника освещения ко всем точкам поверхностей всех объектов сцены и отслежены в соответствии с законами отражения и преломления.

# «Грузить» процессор :))

• Помните? «Луч выходит за пределы видимой из камеры области сцены – расчёты отбрасываются»

• И зачем мы всё это рассматривали?

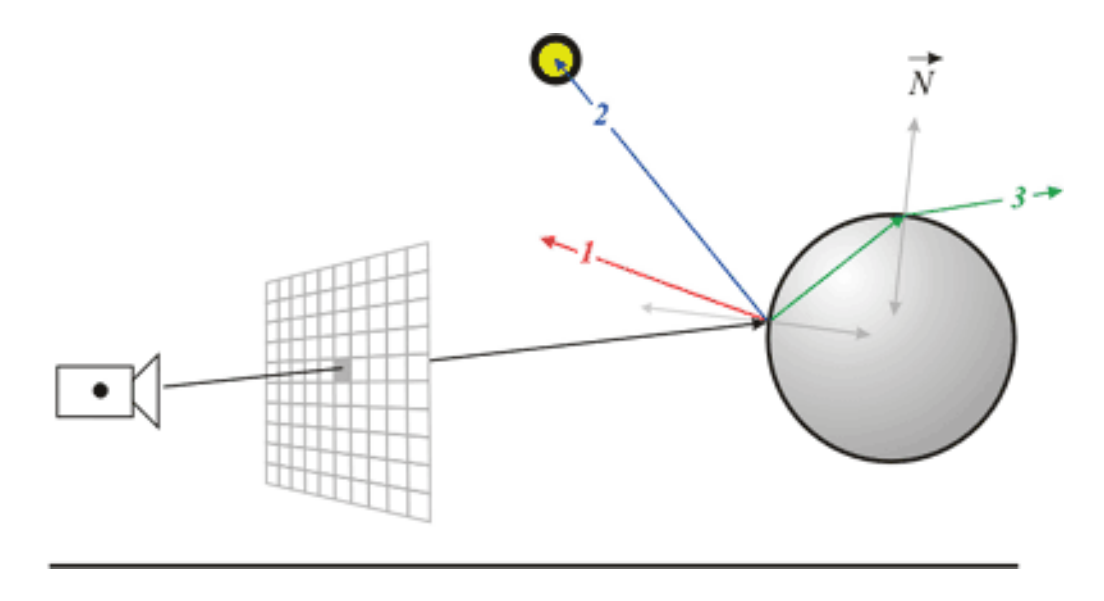
# Обратная трассировка лучей (backward ray tracing)



• Количество первичных лучей известно – это общее количество пикселей видового окна

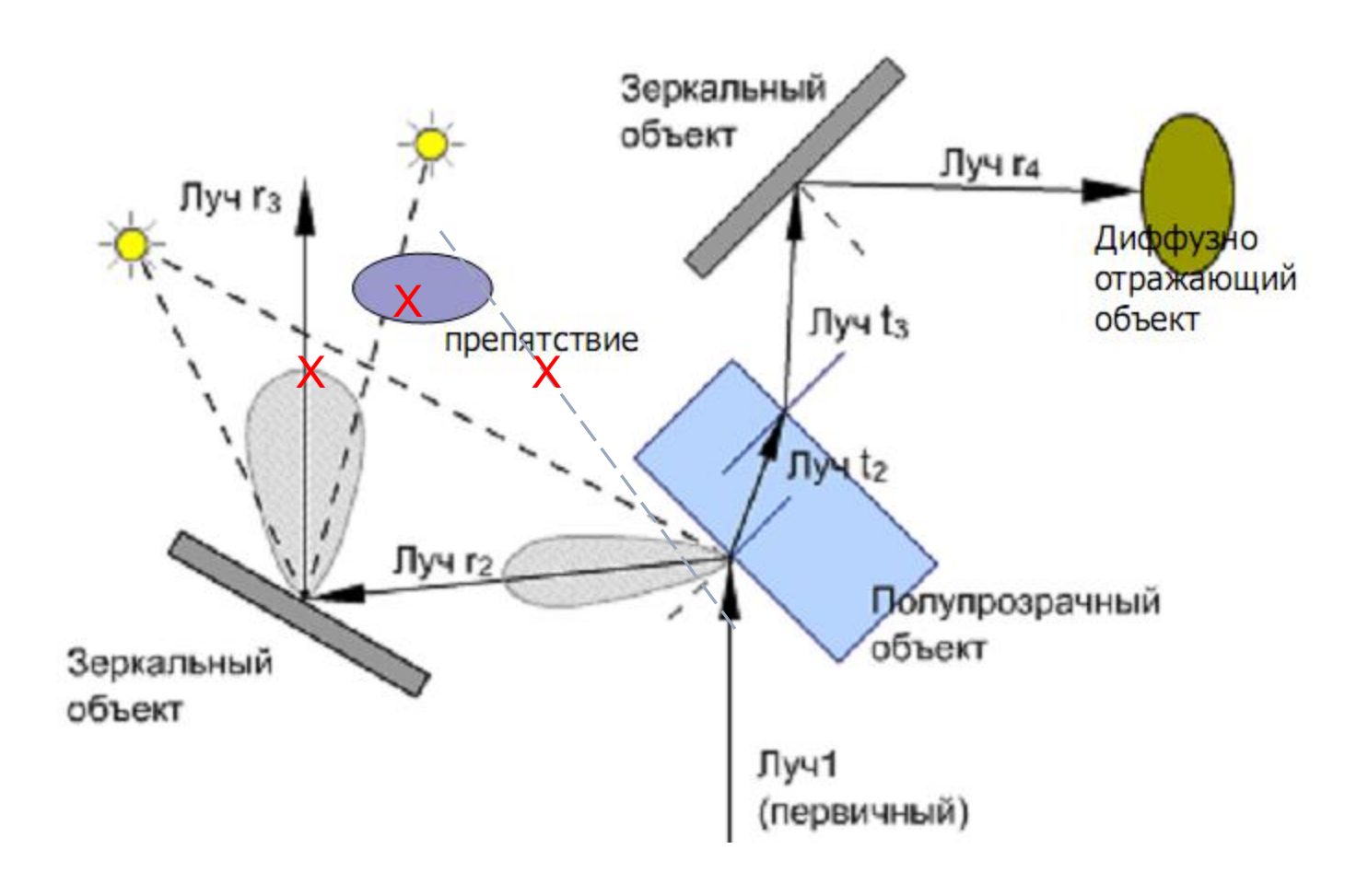
# Обратная трассировка лучей

Разработана в 80-х годах. Основополагающими считают работы Уиттеда и Кея, ссылки на них можно найти в книге Дж.Фоли и А. ван Дэма (1985)



В точке пересечения луча с объектом строится три вторичных луча — один в направлении отражения (1), второй — в направлении источника света (2), третий в направлении преломления прозрачной поверхностью (3).

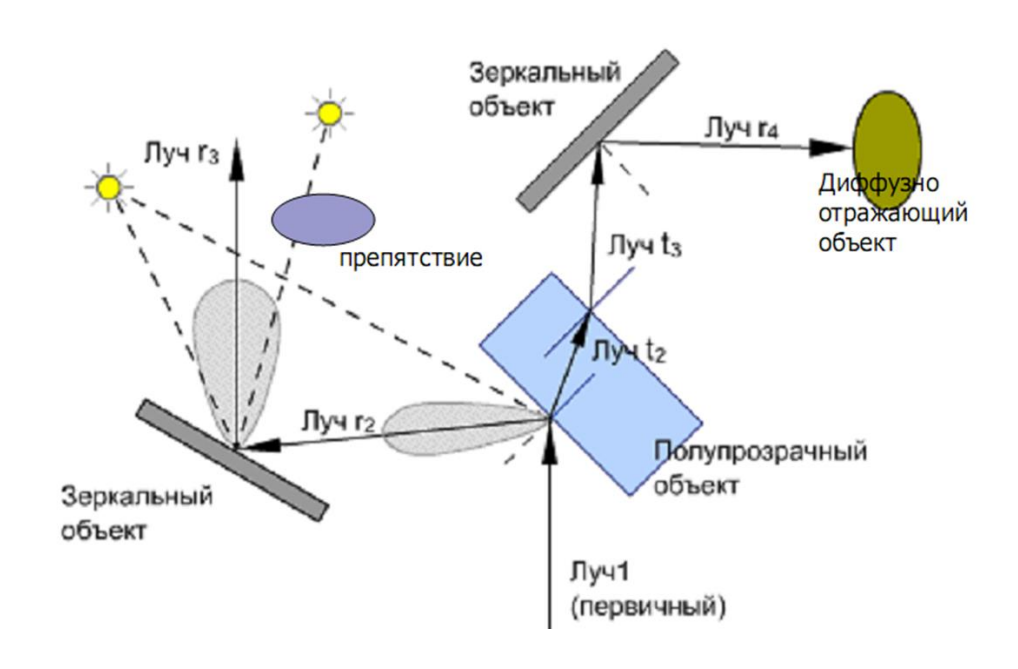
# Обратная трассировка лучей. Пример



Направление от наблюдателя

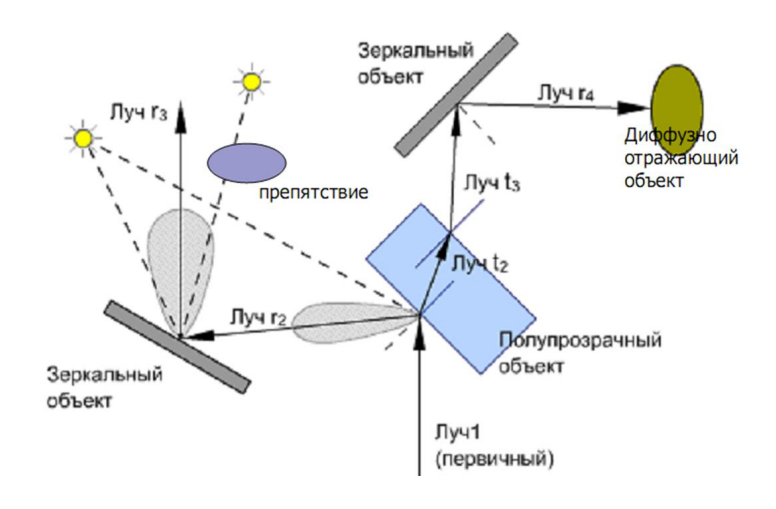
#### Луч в направлении источника света

- Основное назначение:
  - определить ориентацию точки (обращена точка к источнику или от него),
  - наличие объектов, закрывающих точку от источника света,
  - расстояние до источника света.



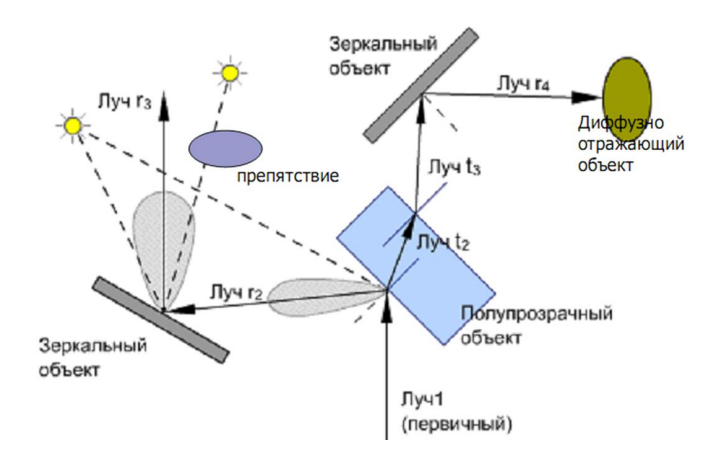
#### Алгоритм

- Если точка обращена в противоположную сторону от источника света или закрыта другим непрозрачным объектом, освещённость от такого источника не рассчитывается, точка находится в тени. Если точка закрыта от освещения всеми источниками сцены, ей присваивается фоновый ambient цвет.
- В случае затеняющего прозрачного объекта интенсивность освещения уменьшается в соответствии со степенью прозрачности.
- В противном случае точка освещена, интенсивность и цвет освещения рассчитываются при помощи локальной модели освещённости (diffuse + specular) как сумма освещённостей от всех источников, для которых эта точка не закрыта другими объектами.



# Теневой луч

- Этот тип луча получил название shadow ray (иногда его ещё называют illumination ray) теневой луч.
- Если поверхность объекта не является отражающей и непрозрачна, теневой луч единственный тип лучей который строится, траектория первичного луча обрывается (заканчивается), и дальнейшие расчёты не выполняются.
- Рассчитанный цвет (освещённости или тени) присваивается тому пикселю видового окна, через который проходит соответствующий первичный луч.



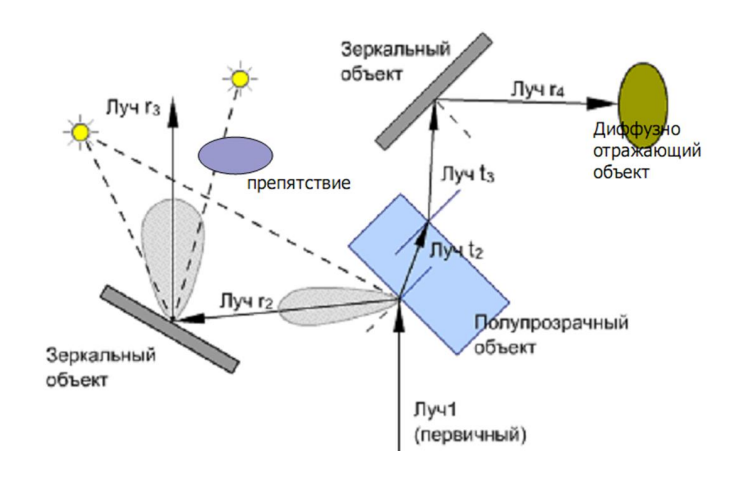
# Луч отражения (reflection ray)

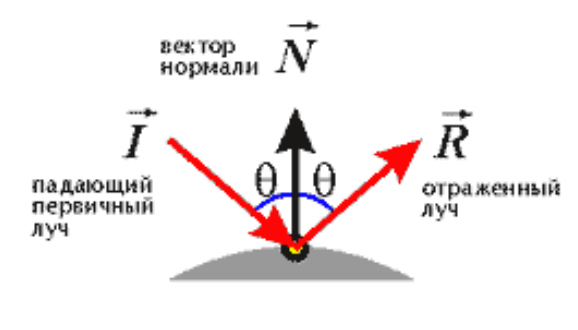
Направление отраженного луча определяется по закону:

Для отраженного луча проверяется возможность пересечения с другими объектами сцены.

Если пересечений нет, то интенсивность и цвет отраженного луча равна интенсивности и цвету фона.

Если пересечение есть, то в новой точке снова строится три типа лучей — теневые, отражения и преломления.





$$\vec{R} = \vec{I} - 2\vec{N}(\vec{N} \cdot \vec{I}),$$

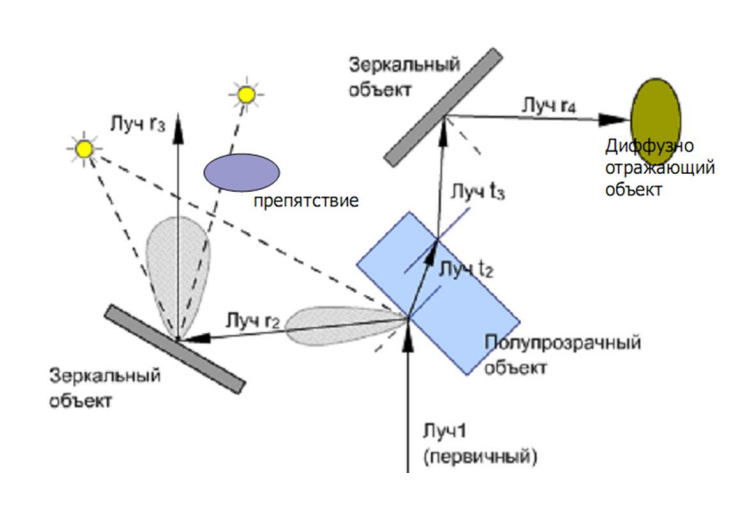
где 
$$(\vec{N}\cdot\vec{I})$$
 - скалярное произведение векторов

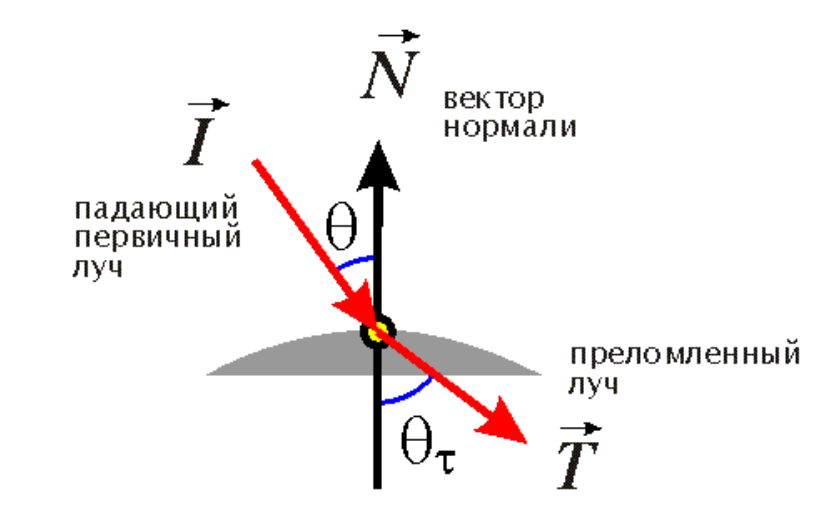
# Луч прозрачности (transparency ray)

Направление для преломлённого луча определяется следующим образом:

n1 и n2 — коэффициенты рефракции для первой среды (в которой распространяется первичный луч) и второй среды прозрачного объекта.

Как и в предыдущем случае, проверяется пересечение вновь построенного луча с объектами, и, если они есть, в новой точке строятся три луча, если нет — используется интенсивность и цвет фона.

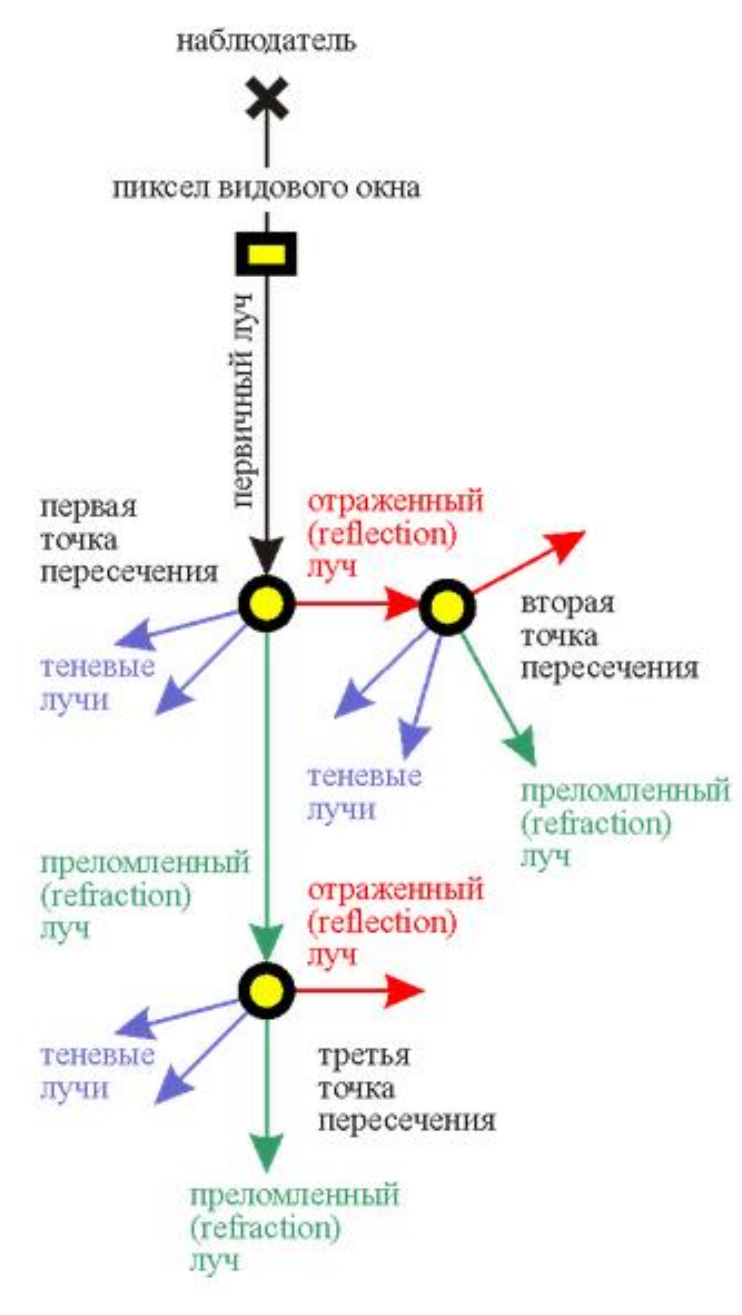




$$\vec{T} = \frac{\mathbf{n}_1}{\mathbf{n}_2} \vec{\mathbf{I}} - \left[ \cos \theta_{\tau} + \frac{\mathbf{n}_1}{\mathbf{n}_2} (\vec{\mathbf{N}} \cdot \vec{\mathbf{I}}) \right] \vec{\mathbf{N}},$$

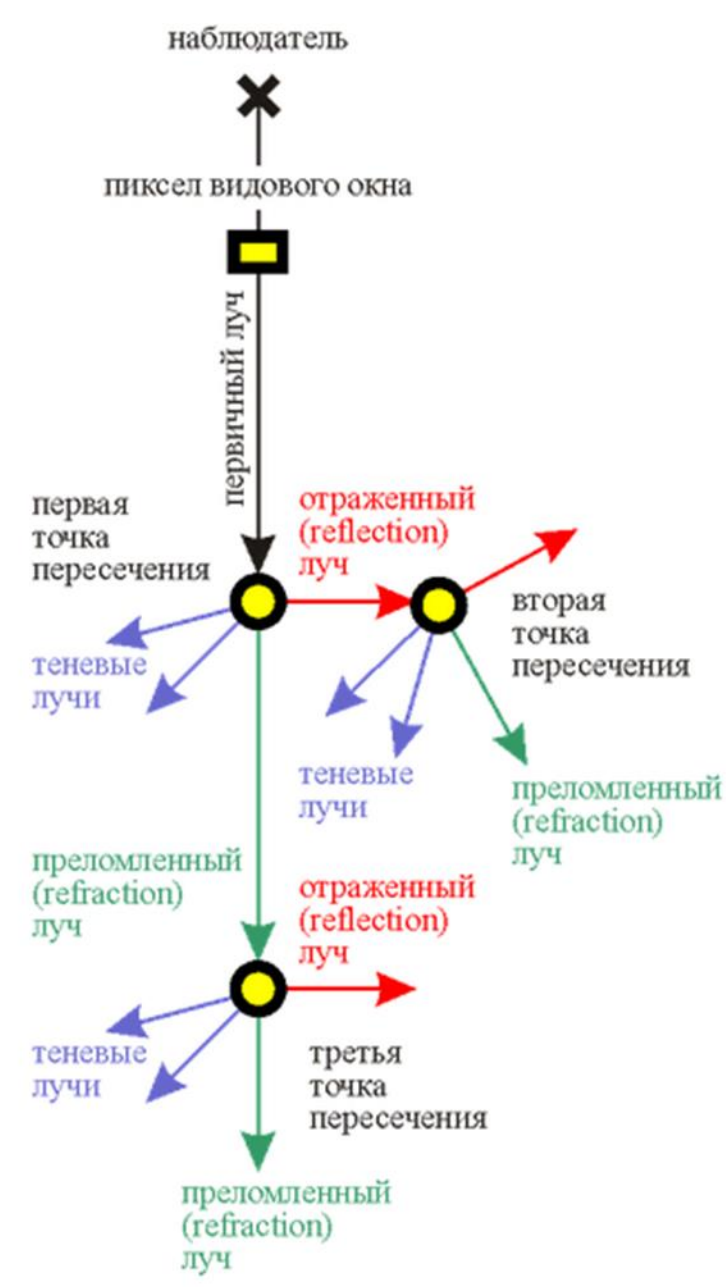
$$\cos \theta_{\tau} = \sqrt{1 - \left(\frac{n_1}{n_2}\right)^2 (1 - (\vec{N} \cdot \vec{I})^2)}$$

Для каждого первичного луча можно построить древовидную структуру следующего вида



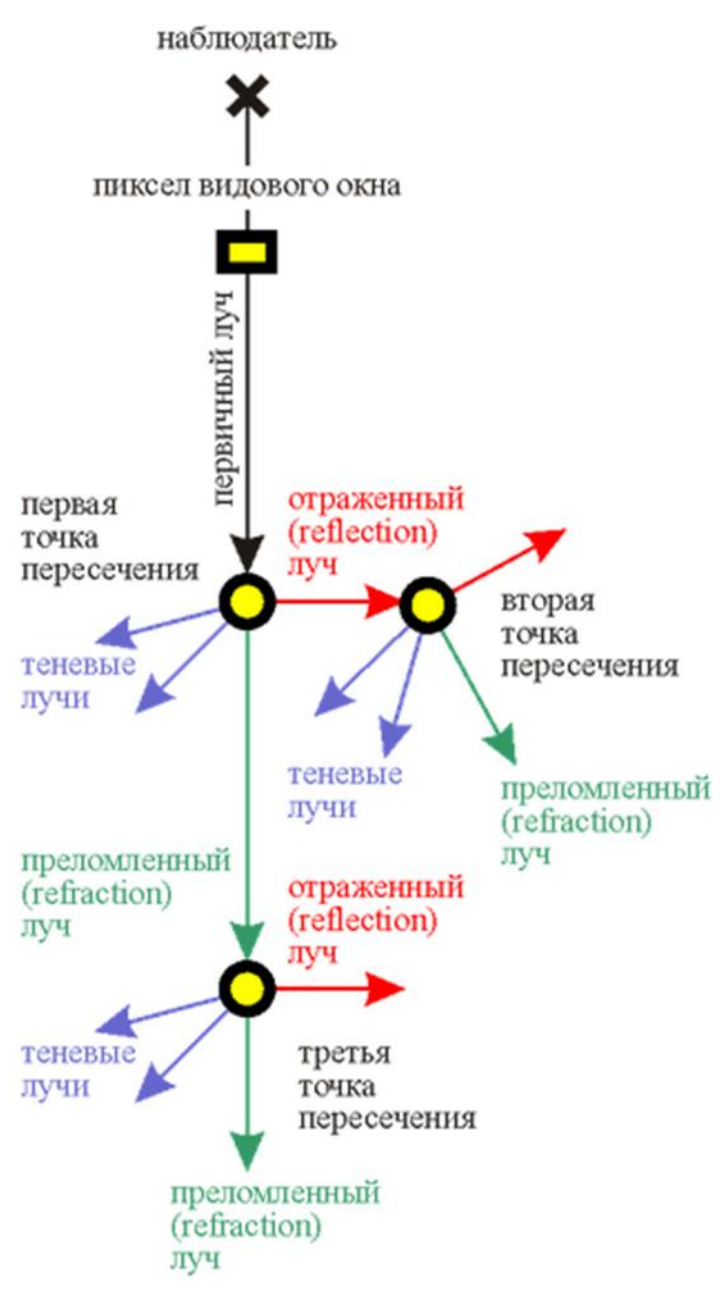
#### Построение дерева

- В **каждой** точке пересечения **теневые** лучи строятся **всегда**.
- Преломлённый и отражённый лучи строятся при условии, что поверхность пересечения обладает свойствами отражения или преломления.
- Если объект такими свойствами не обладает, в точке пересечения вычисляется освещённость (diffuse и specular), и луч обрывается (считается, что он заканчивается на источнике света).
- В идеале, процесс продолжается до тех пор, пока все лучи либо не будут рассеяны на чисто диффузных поверхностях, либо не выйдут за пределы видимой области.



#### Расчёт освещённости по дереву

- Для каждой ветви дерева спускаемся вдоль древовидной структуры к последнему пересечению вторичного луча и поверхности (будем дальше называть их узлами).
- Поскольку это последний узел в цепи, вкладов от преломлений и отражений нет.
- Поэтому освещённость узла вычисляется при помощи локальной модели освещения с учетом видимости источников света для данного узла.
- Затем, вычисленная освещённость передается вверх по ветви к следующему ближайшему узлу.



## Освещённость в нелистовом узле будет вычисляться по формуле:

$$\mathbf{I}_{n} = \mathbf{I}_{local} + \mathbf{k}_{reflection} * \mathbf{I}_{reflection} + \mathbf{k}_{refraction} * \mathbf{I}_{refraction}$$

#### где

 $I_{n}$  — полная освещённость в узле n;

 $I_{local}$  — локальная освещённость в узле n, вычисленная от источников освещения с помощью локальной модели освещённости;

 $k_{reflection}$  – коэффициент, определяющий отражающие свойства поверхности;

I<sub>reflection</sub> – освещённость предыдущего узла, переданная вдоль ветки отражения;

 $k_{refraction}$  – коэффициент, определяющий преломляющие свойства поверхности;

I<sub>refraction</sub> – освещённость предыдущего узла, переданная вдоль ветки преломления.

Когда изображение считается построенным?

## Когда изображение считается построенным?

- Результаты освещённости накапливаются при подъёме от самого последнего узла через все узлы ветви.
- Изображение можно считать построенным, когда цвета всех пикселов видового окна (все соответствующие деревья для каждого первичного луча) вычислены.

- Естественным завершением трассировки лучей является выход всех испущенных вторичных лучей за пределы видимой области и их рассеяние на чисто диффузных объектах.
- Результат вычислений будет наиболее точным.

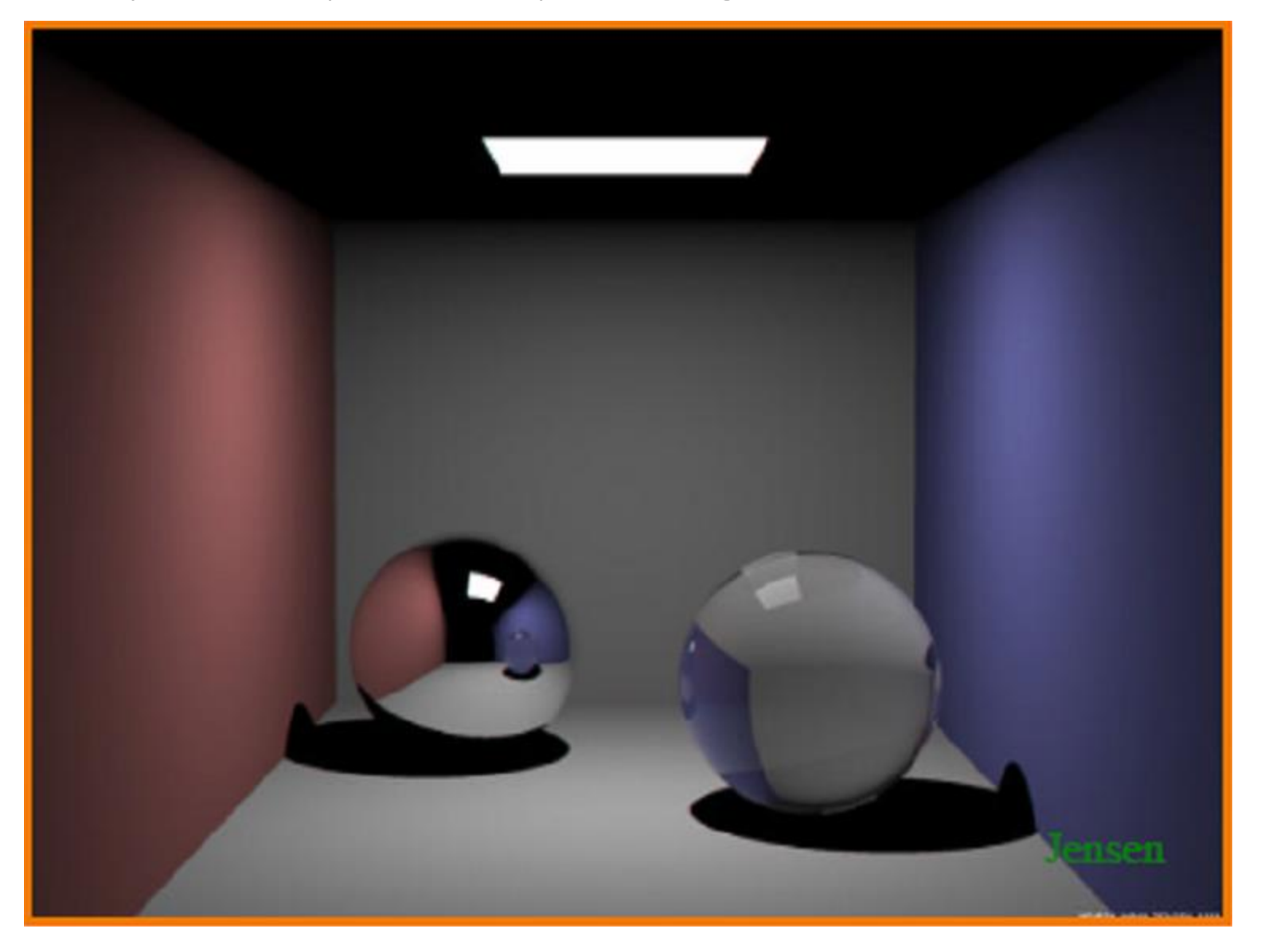
- Но, если сцена достаточно сложна, такой расчёт будет очень медленным, а в некоторых случаях и невозможным по причине ограниченности аппаратных ресурсов.
- Вклад освещённости от каждого нового вторичного луча очень быстро уменьшается, т.к. коэффициенты свойств отражения и преломления <1.
- Например, если коэффициент отражения одинаков для всех поверхностей и равен 0.3, то вклад 4-го отражения уменьшится, будучи умноженным на 0.0081 (0.3\*0.3\*0.3\*0.3), а общее количество лучей значительно увеличится.
- Поэтому часто трассировку лучей прекращают, когда вклад от следующего узла ветви становится меньше заданной величины.
- Это также достаточно точный метод расчётов, который может быть использован для получения качественных результатов.

• Наконец, для получения оценочного расчёта можно оборвать трассировку лучей после выполнения заданного количества итераций, это самый быстрый и наименее точный расчет.

### Резюме

- Алгоритм обратной трассировки лучей стал основным способом расчётов освещённости методом трассировки лучей.
- Метод трассировки лучей первый метод расчёта глобальной освещённости, учитывающий взаимное влияние объектов сцены друг на друга.

## Трассировка лучей (Ray tracing)



## Плюсы

Основные достоинства рекурсивного метода обратной трассировки лучей, значительно повысивших степень реалистичности компьютерных рендеров:

- расчёт теней,
- расчёт многократных отражений и преломлений.

## Ограничения метода обратной трассировки

- 1. Выделяют источники света. Они могут только излучать, но не отражать и преломлять. Ограничивают многообразие источников точечными.
- 2. Свойства отражающих поверхностей задаются суммой диффузной и зеркальной компонент. Зеркальность описывается составляющими reflection и specular. Reflection учитывает отражение других объектов, не являющихся источниками. Строится только 1 зеркально отражённый луч г для дальнейшей трассировки.
- 3. Specular даёт световые блики от источников. Для этого определяются углы α отражённого луча обратной трассировки со всеми источниками.
- 4. При диффузном отражении учитываются только лучи от источников света (от зеркал игнорируются).

## Ограничения метода обратной трассировки

- 5. Для прозрачных (transparent) объектов обычно не учитываются зависимость преломления от λ. Иногда прозрачность моделируется без преломления.
- 6. Для учёта освещённости объектов светом, рассеиваемым другими объектами, вводится фоновая составляющая (ambient)
- 7. Низкая скорость и высокая вычислительная стоимость расчётов в классическом рейтресинге необходимо проверять на пересечение каждый луч со всеми объектами сцены. В результате от 70% до 95% всего времени расчётов тратится на вычисление пересечений.
- 8. Резкие границы цветовых переходов тени/подсветок/прозрачности.
- 9. Aliasing "зазубренность" линий и т.д.
- 10. Дискретность определяющих цвет пиксела первичных лучей одного первичного луча недостаточно для корректного определения цвета пиксела, формирующего изображение.

## Оптимизация — использование оболочек

- В данном алгоритме следует при каждом вызове проверять (вычислять) наличие пересечения с гранями объектов → перебор всех граней.
- Для ускорения процесса применяется метод оболочек для отбрасывания заведомо неприемлемых кандидатов.
- Оболочки могут образовывать древовидную структуру.
- Это позволяет существенно ускорить перебор и сделать его теоретически пропорциональным логарифму от числа граней.

## Алгоритм с учетом отимизаций

Базовая операция обратной трассировки — вычисление интенсивности для трассируемого луча:

```
ЛУЧ(номер итерации ind, тип луча, направление луча dir, номер объекта no) {
Находим точку пересечения луча с ближайшим объектом (гранью); Если точка найдена, то
                                            // использовать метод оболочек
{ по=номер пересекаемого объекта;
  Вычисляем нормаль к видимой стороне пересекаемой грани;
 Если (k_d > 0), то
                                             // задано свойство диффузного отражения
           \{L_d=Сумма интенсивности диффузного отражения для всех источников;}
 Если (k_{\rm s} > 0), то
                                            // зеркальные блики от источников света
           {Определяем направление отраженного луча dirR;
           L_s=Интенсивность зеркального блика с учетом \alpha для всех источников;}
 Если (k_r > 0), то
                                             // зеркальное отражение других объектов
           {Определяем направление отраженного луча dirR;
           L_r=ЛУЧ(ind+1, отраженный, dirR, no);} // рекурсия
 Если (k, > 0), то
                                            // объект полупрозрачный
           {Определяем направление преломленного луча dirT;
           L,=ЛУЧ(ind+1, преломленный, dirT, no);} // рекурсия
 return k_a \cdot L_a \cdot C + k_d \cdot L_d \cdot C + k_s \cdot L_s + k_r \cdot L_r + k_t \cdot L_t; // k_r L и C - вектора (для RGB)
иначе {Луч уходит в свободное пространство; return Значение по умолчанию (цвет фона)}}
```





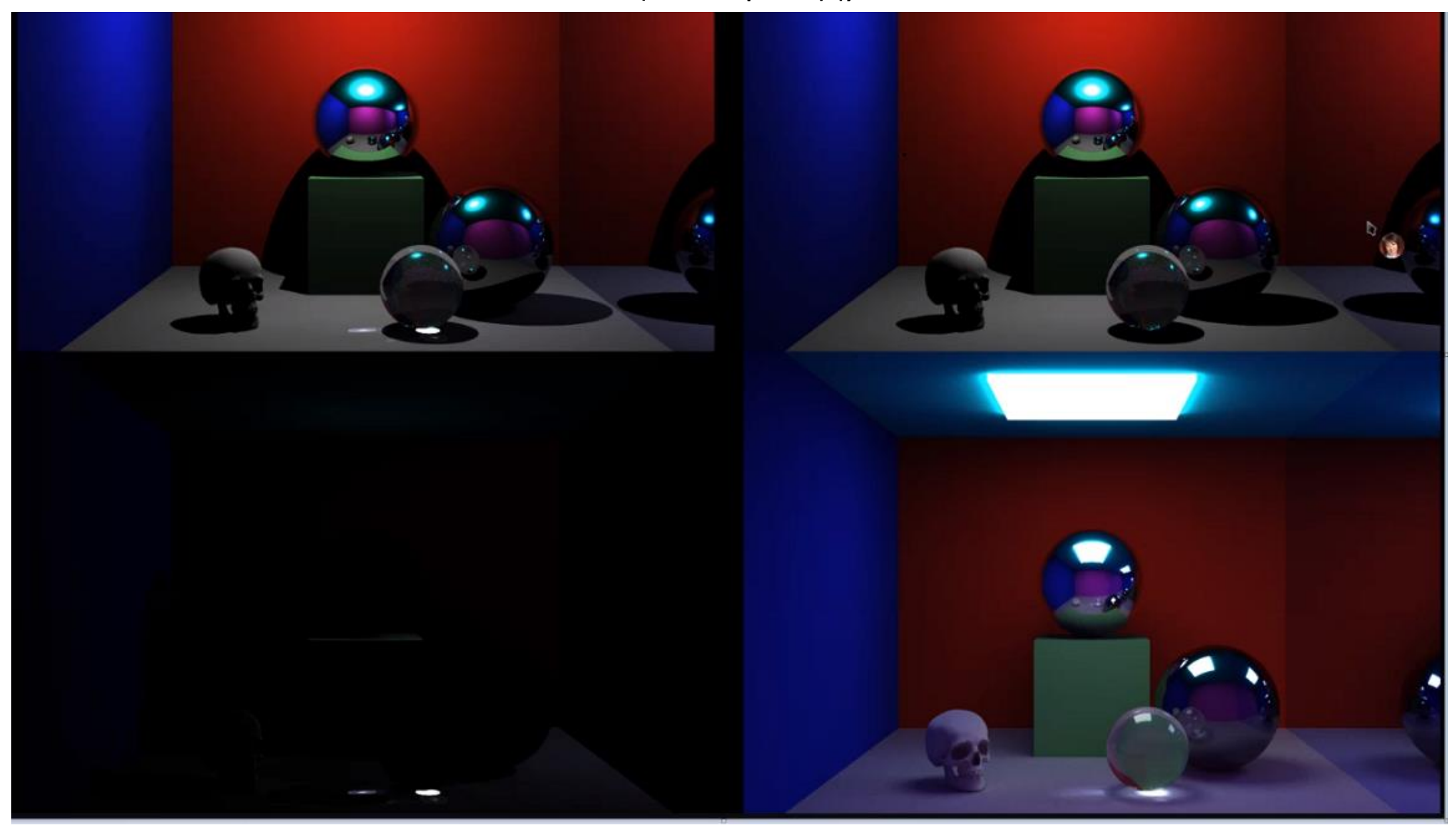


Результат суммирования

Результат прямой трассировки света

Результат трассировки пути от камеры

## Реализация - Сергей Дуюнов - 2020



## Достоинства

В **1984** году была опубликована работа **Роберта Кука** «Распредёленная трассировка лучей», в которой была открыта важная **концепция случайного распределения лучей** во времени и пространстве для достижения **размытия в движении**, **полуглянцевых отражений**, **освещения по площади и глубины резкости**.

И все это при помощи тех же лучей, которые необходимо генерировать для работы со сглаживанием.

## Недостатки

Но, весь процесс трассировки лучей по своей сути крайне неэффективен, даже если он эффективен в сравнении с иными методами физического рендеринга.

Несмотря на оптимизацию метода в работе Кука, экспоненциальная характеристика трассировки оставалась фундаментальной преградой для применения технологии.

## Трассировка путей

В 1986 году Джеймс Кажийя опубликовал «Уравнение рендеринга» и предложил новую, скоростную форму трассировки лучей, которую назвал «трассировка путей».

Трассировка путей предоставляет **решение проблемы экспоненциального роста** количества лучей. Вместо постоянно расширяющегося древа путей, трассировка путей ведет себя **подобно распределенной трассировке лучей, но выделяя лишь один луч на «отскок»**.

**Рандомизируя тип луча и направление** на каждый «отскок», вместо экспоненциальной генерации лучей, значительно снижается время просчёта и необходимость вычислительной мощности, позволяя работать со всеми источниками освещения, в том числе с глобальным освещением.

## Трассировка путей: недостатки

В современных движках рендеринга с трассировкой лучей разработчики обнаружили, что трассировка путей включает свои недостатки.

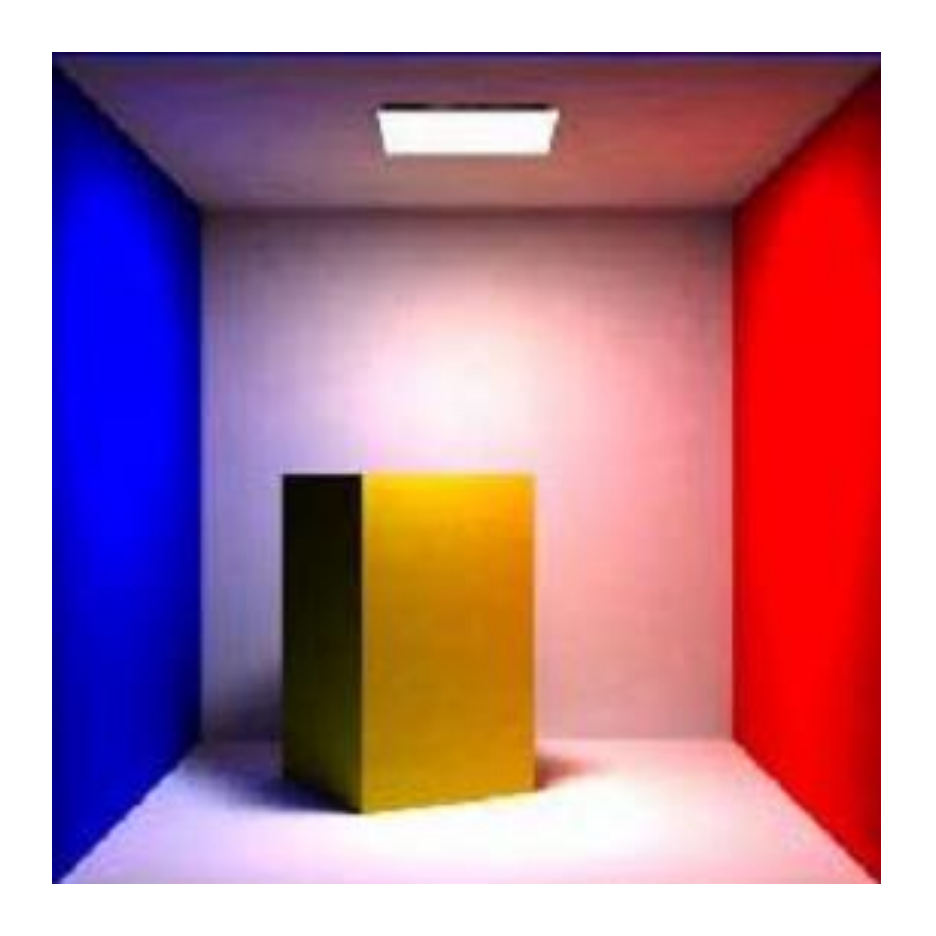
Особенно это касается поздних «отскоков», которые начинают требовать гораздо больше лучей для просчета.

В связи с этим разработчики постепенно оптимизируют эффективность рендеринга с использованием традиционной ветвящейся системы трассировки.

## Метод Radiosity

- Рейтресинг рассчитывает диффузную освещённость трёхмерных поверхностей только от прямых источников света в соответствии с законом Ламберта.
- Учитывая, что диффузная освещённость несёт основную визуальную информацию о геометрии и цвете объектов, совершенно очевидно, что только закона Ламберта для достижения фотореалистичных результатов расчёта освещённости недостаточно.
- В частности, при расчёте диффузного освещения данной поверхности необходимо учесть не только её освещение прямыми источниками света, но и так называемое вторичное (или отраженное) диффузное освещение диффузное рассеяние света окружающими объектами.
- Метод расчётов, позволяющих **учесть вторичное диффузное освещение**, получил название **radiosity**, или **метод излучательности**.

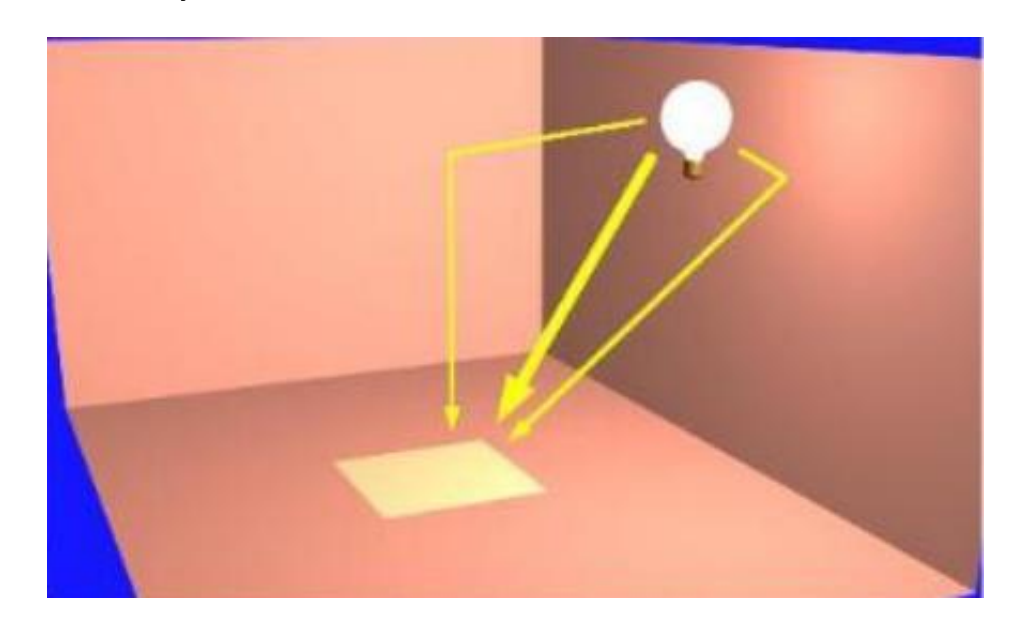
## Radiosity



Компьютерная графика Демяненко Я.М. мехмат ЮФУ

2025 58

## Метод Radiosity



- В ранних 1960-х инженеры разработали методы моделирования перемещения теплового излучения между поверхностями в печах или двигателях.
- В середине 1980-х → компьютерная графика.
- Метод Radiosity вычисляет интенсивность (цвет) всех поверхностей в окружении, что предпочтительнее, чем вычислять цвет каждой точки экрана.

## Основные идеи radiosity

- Потоком энергии (вообще тепловой, но в нашем случае световой) называют количество энергии, проходящей через некоторую площадь в единицу времени.
- Плотностью потока энергии называют поток энергии, проходящий через единицу площади.
- Другими словами, плотность потока энергии это количество энергии переносимой через единицу площади в единицу времени.
- Под собственной энергией поверхности можем понимать диффузное рассеяние света от прямого источника, а под приносимой энергией освещение, отражённое диффузно всеми окружающими объектами.
- Сама величина radiosity определяется как плотность потока энергии, испускаемой патчем (покидающей патч).
- Таким образом, radiosity это поток энергии, исходящей от единицы площади поверхности в единицу времени.

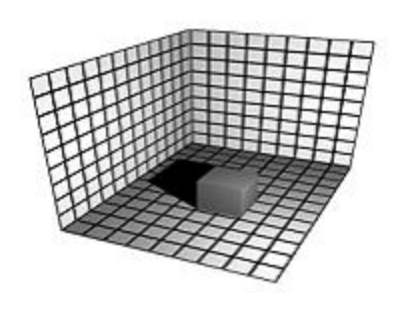
## Метод Radiosity

- В основе аппроксимации основного уравнения визуализации методом Radiosity лежит предположение о том, что все поверхности сцены являются идеальными диффузными поверхностями, т.е. рассеивают падающий свет во все стороны с одинаковой интенсивностью (закон Ламберта).
- После принятия такого упрощения мы можем вынести функцию BRDF из-под знака интеграла, т.к. она будет постоянной. В результате имеем основное уравнение Radiosity:

$$B(x) = E(x) + \rho(x) \int_{x'} B(x') \frac{V(x, x')G(x, x')}{\pi} dx'$$

Здесь B(x) — это энергия рассеиваемая элементом.

## Допущения

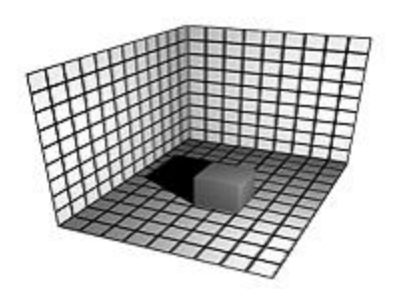


- Для решения уравнения Radiosity, мы должны разбить все поверхности нашей сцены на дискретные элементы конечной величины, так чтобы это позволило нам перейти от интеграла к сумме.
- **Карта освещенности** (lightmap). Под дискретными элементами конечной величины подразумеваются точки лайтмэпов.
- Также мы полагаем, что светопередающие характеристики (отражающая и рассеивающая способность) этих элементов одинаковы.

## Подробнее о допущениях

- Поверхности всех объектов трёхмерной сцены разбиваются на плоские небольшие участки – патчи (patch).
- В некотором смысле они напоминают полигоны, с помощью которых описываются поверхности, хотя на самом деле таковыми не являются. То есть, они могут быть больше или меньше размера реальных полигонов и по сути являются модельным инструментом radiosity, а не средством точного описания поверхности.
- Размер каждого патча должен быть настолько мал, что плотность распределения интенсивности световой энергии в его пределах можно считать постоянной величиной (константой).
- И наконец, считают, что диффузное рассеяние света не зависит от угла, то есть свет рассеивается равномерно по всем направлениям.
- Такой подход для получения и решения уравнений освещённости radiosity получил название finite element method метод ограниченных (конечных) элементов.

## Процедура Radiosity



- После разбиения поверхностей 3D сцены на дискретные элементы, в один проход по стандартным алгоритмам рассчитываем первичную освещённость поверхностей от всех источников света.
- После этого знаем, какая энергия источников света приходится на каждую точку лайтмэпа.
- Затем, собственно, само Radiosity: представив, что каждый элемент является самостоятельным источником световой энергии, которую он получил от первичных источников света, рассчитываем вторичную освещенность, т.е. учитываем влияние одних элементов на другие.
- Затем, учитывая поглощение, проход за проходом рассчитываем переизлучение световой энергии между поверхностями сцены до тех пор, пока не установится равновесие.

## Вычисление потока энергии

- Поток энергии каждого из окружающих патчей вычисляется как произведение площади такого патча на плотность испускаемого им потока энергии (т.е. radiosity этого патча), поскольку патч настолько мал, что плотность потока в его пределах можно считать постоянной величиной.
- Необходимо учесть взаимную ориентацию и расстояние между патчами. Для этого вводится так называемый форм-фактор.
- Форм-фактор просто определяет, какая часть всего потока излучаемой энергии (radiosity) данного патча достигает другого патча.

## Вычисление потока энергии

• Основные уравнения расчёта radiosity имеют следующий вид:

$$\mathbf{B}_i = \mathbf{E}_i + \rho_i \sum_{j=1}^n \mathbf{B}_j \mathbf{F}_{ij}$$

где  $\mathbf{B}_i$  - radiosity i-го патча,

 $\mathbf{E}_i$  - диффузное отражение света от прямого источника;

Оі - коэффициент, характеризующий свойства диффузного отражения поверхности, которой принадлежит патч;

**B**<sub>i</sub> - radiosity j- го патча;

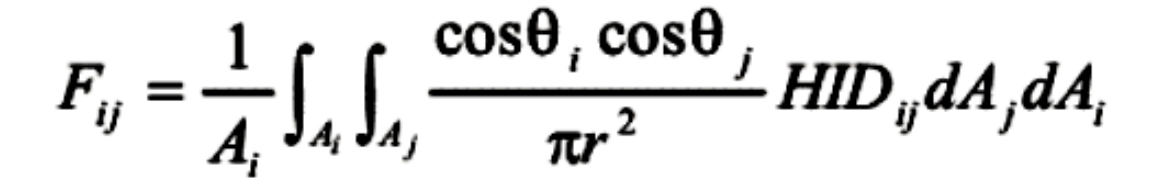
 $\mathbf{F}_{ij}$  - форм-фактор, определяющий, какая часть радиосити j-го патча достигнет i-го патча;

п - количество всех патчей трехмерной сцены.

Компьютерная графика Демяненко Я.М. мехмат ЮФУ

## Вычисление форм-фактора

• Форм-фактор і-го патча определяет, какая часть radiosity ј-го патча достигнет і-го патча.



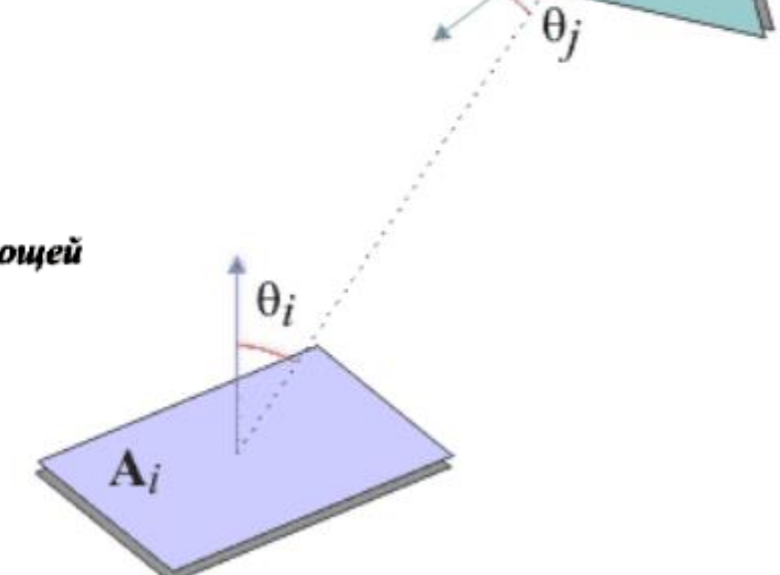
 ${m F}_{ij}$  - форм-фактор i-го патча;

 $A_i$ ,  $A_i$  - площади i- го и j-го патчей;

HIDij - функция видимости патчей;

r - расстояние между патчами

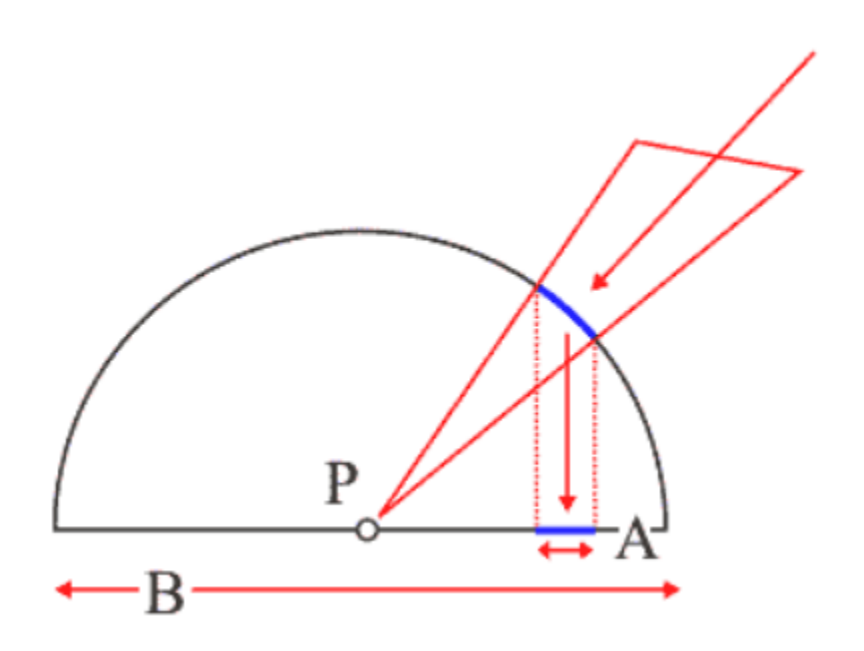
θі, θј - углы между нормалями патчей и линией, их соединяющей



## Вычисление форм-фактора

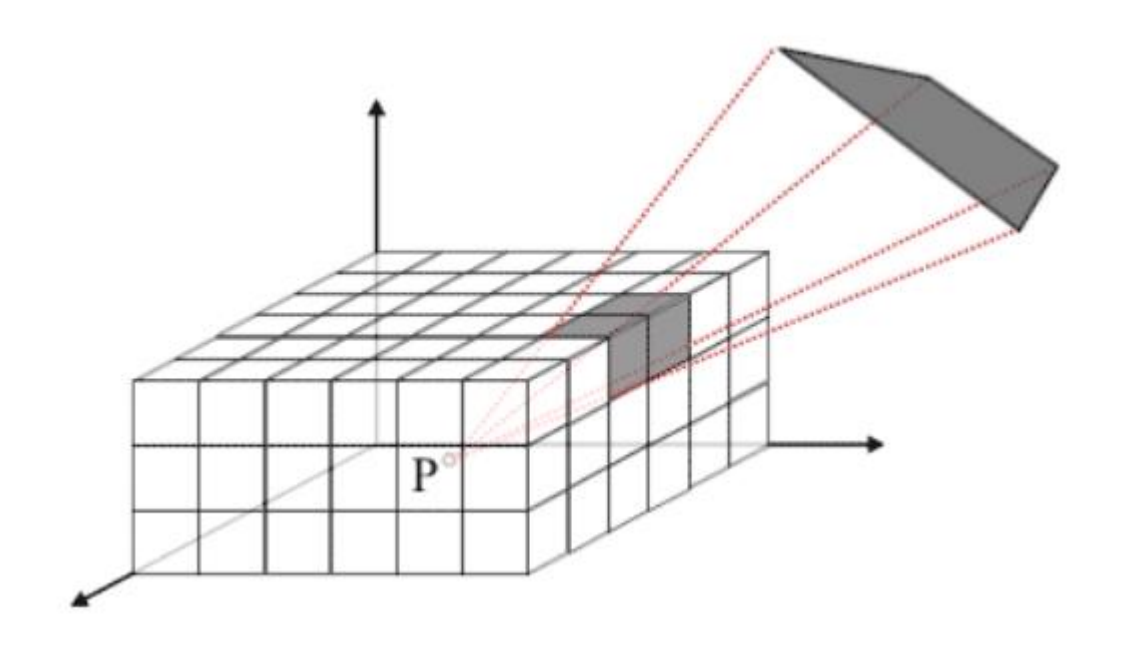
- Формула не учитывает влияния среды, в которой распространяется свет (дым, пыль, туман и т.д.).
- Аналитическое решение этого интеграла в общем случае невозможно, поэтому для его нахождения используются различные численные методы и упрощения.

## Расчёт форм-фактора с использованием полусферы



- •Считается, что первый патч точка
- •В эту точку помещается полусфера единичного радиуса, второй патч проектируется сначала на поверхность сферы, затем на её основание.
- •Величина форм-фактора тогда будет равна отношению дважды спроектированной площади второго патча к площади основания полусферы.

## Расчёт форм-фактора с помощью полукуба



- Патч проектируется на полукуб, вычисляются соответствующие ячейки.
- Форм-фактор патча равен сумме форм-факторов ячеек, на которые «упала тень» патча.

## Matrix radiosity: ресурсы

- С математической точки зрения мы здесь имеем **n уравнений** для нахождения **n неизвестных**
- Сцена из 1 миллиона полигонов патчей
- Система из миллиона уравнений
- Для **каждого** патча должно быть вычислено **n форм-факторов**, определяющих вклады от всех остальных патчей сцены, а для всех **n патчей n x n форм-факторов**.
- Для сцены из миллиона патчей эта цифра составит 10^12
- Если использовать по **1 байту на фактор**, для хранения всех значений потребуется около **1000** гигабайт.

## Алгоритмы расчета radiosity

- Одним из самых первых алгоритмов стал метод итераций Гаусса-Зейделя (Gauss-Seidel iteration).
- Второй, и наиболее распространённый, метод решения уравнений radiosity носит название метода прогрессивного уточнения оценок (progressive refinement method).
- Третий, wavelet radiosity
- В конце 90-х годов, был разработан ещё один способ решения основных уравнений radiosity, получивший название **Stochastic Relaxation Radiosity**, или **SRR**.

## Метод итераций Гаусса-Зейделя

- Пошаговое вычисление radiosity патчей с последующей корректировкой промежуточных значений (называемых оценочными значениями).
- На самом **первом** шаге считается, что **вторичное отражение отсутствует**, тогда **radiosity** всех патчей **равны их собственной эмиссии**.
- На **следующем** шаге вычисленное промежуточное значение **radiosity подставляется в уравнение**, и **находится новое промежуточное** значение, которое будет отличаться по значению в большую сторону.
- Поскольку для реалистичных поверхностей коэффициент диффузного отражения меньше единицы, и любой из форм-факторов также всегда меньше единицы, добавка к промежуточному значению радиосити с каждым шагом вычислений будет все меньше и меньше.
- На определённом шаге итерации **новое** промежуточное значение **не будет отличаться от предыдущего** вычисленного значения **в пределах заданной точности**. Тогда считается, что искомое значение **radiosity найдено**.
- Хотя этот метод решает часть проблем вычисления значений radiosity, он всё ещё **недостаточно быстр** и требует такого **количества памяти** для хранения переменных, что его **использование для** решения **практических задач почти невозможно**.

## Метод прогрессивного уточнения оценок

- Radiosity данного патча рассчитывается как **сумма вкладов radiosity от окружающих** патчей, при этом всякий раз используются все форм-факторы в количестве **n**x**n**, где **n** количество всех патчей.
- Можно **наоборот** описывать **вклад данного патча в radiosity всех остальных патчей**, т. е. не собираем свет, а излучаем свет из данного патча в направлении окружающих поверхностей.

$$\Delta \mathbf{B}_i = \rho_i \; \mathbf{B}_I \; \mathbf{F}_{Ii} \; \mathbf{A}_I / \mathbf{A}_i$$

где  $\Delta \mathbf{B}_i$  - вклад в radiosity i-го патча от первого патча,

рі - коэффициент, характеризующий свойства диффузного отражения поверхности, которой принадлежит і-й патч;

**В**<sub>1</sub> - radiosity 1-го патча;

 $\mathbf{F}_{Ij}$  - форм-факторы первого патча в количестве n;

п - количество всех патчей трехмерной сцены;

**А** ј - площадь первого патча;

 $A_i$  - площади остальных патчей.

#### 1. На первом шаге итерации

- Считается, что отраженного света пока нет, поэтому radiosity всех патчей определяются освещённостью прямыми источниками света в соответствии с законом Ламберта + собственное излучение, если патч принадлежит самосветящейся поверхности.
- Вычислений форм-факторов тоже пока не требуется.
- По найденным значениям radiosity производится упорядочивание патчей в порядке убывания. Это делается для того, чтобы в последующих итерациях вычисления начинались с патчей, обеспечивающих самые существенные вклады. Поскольку речь идет об отражённом свете, это же означает, что такие патчи будут и наиболее сильно освещёнными.

#### 2. На втором шаге

- Выбирается первый патч последовательности (наиболее освещённый), и в соответствии с формулой вычисляются вклады первого патча в radiosity всех остальных патчей.
- Вычисленные вклады суммируются с radiosity соответствующих патчей и сохраняются с накоплением в переменной неизлученной (unshot) radiosity соответствующего патча для следующей итерации
- Unshot radiosity первого патча обнуляется после вычисления всех вкладов первого патча вся "неизлученная" освещенность теперь "излучена".
- Таким образом, каждый патч характеризуется текущим значением radiosity и переменной неизлученной radiosity, представляющей собой сумму вкладов от других патчей, вычисленных в текущей итерации.

- При вычислении вкладов от второго патча (и последующих) используется накопленная к этому моменту неизлученная radiosity как сумма вкладов от уже обсчитанных патчей (в данном случае предыдущего, первого патча).
- После вычислений всех вкладов переменная unshot radiosity второго патча тоже обнуляется, но её значение будет меняться в процессе итерации в результате последующих вычислений других патчей.
- Так, значение неизлученной radiosity первого патча, которую мы обнулили раньше, теперь будет равна величине вклада второго патча в радиосити первого патча. Итерация заканчивается, когда будут вычислены вклады всех патчей.
- Использование **unshot radiosity** имеет простую **интерпретацию**. Это **свет, излученный патчем** в направлении окружающих поверхностей **и отраженный назад**.
- С каждой итерацией мы снова и снова излучаем этот свет, **интенсивность** его при этом все время **уменьшается**, что и **обеспечивает сходимость**, т.е. конечное число итераций при вычислении полного значения radiosity.

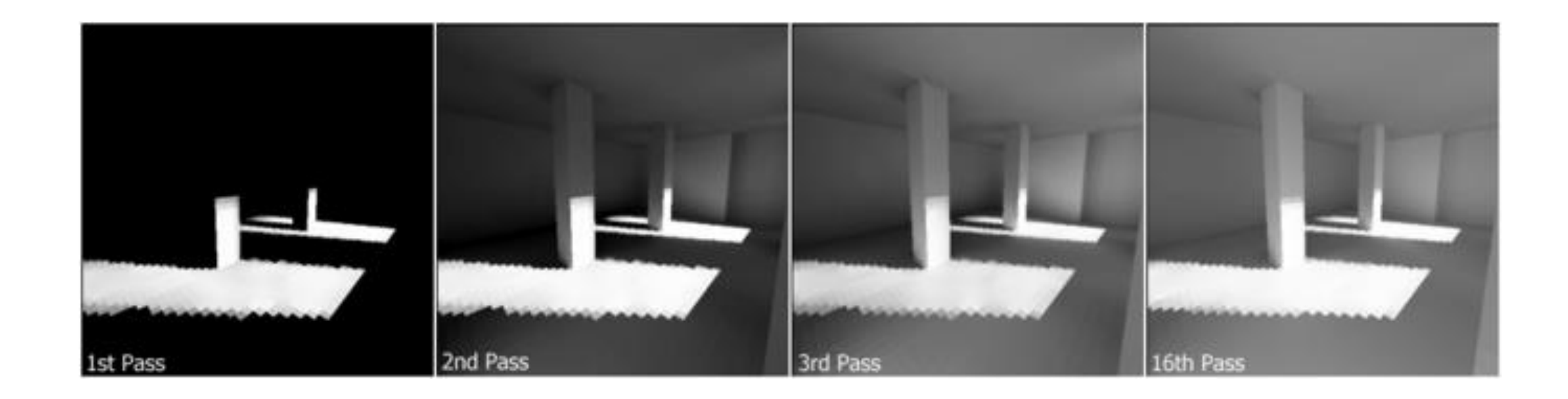
#### 3. На третьем шаге

• Итерации выполняются до тех пор, пока значение максимального вклада какоголибо патча не станет меньше некоторой заданной величины.

#### Пример

- Пусть в нашей сцене имеется всего 3 патча и один источник света Е.
- Присваиваем значениям radiosity B(i) и неизлученной энергии U(i) каждого патча величину их диффузной освещённости от источника света E(i).
- Упорядочиваем патчи по величине B, пусть B(1) > B(2) > B(3).
- На второй итерации берём первый патч и используя его значение U(1) находим вклады во второй и третий патчи.
- Вклады суммируем со значением радиосити B(2) и B(3), а также приплюсовываем их к неизлученной энергии U(2) и U(3).
- Затем обнуляем значение U(1) вклады от неё уже рассчитаны, то есть энергия "излучена".
- Переходим ко второму патчу, используя его значение неизлученной энергии U(2) = E(2) + вклад от первого патча, рассчитываем вклады в первый и третий патчи, обновляем значения радиосити и неизлученной энергии для 1 и 3 патчей, U(2) обнуляем.
- Переходим к третьему патчу, его значение U(3) = E(3) + вклад от первого патча + вклад от второго патча используется для рассчета вкладов в первый и второй патч. После вычисления вкладов U(3) обнуляется. Первая итерация завершена, переходим к следующей и т.д.

# Пошаговая визуализация

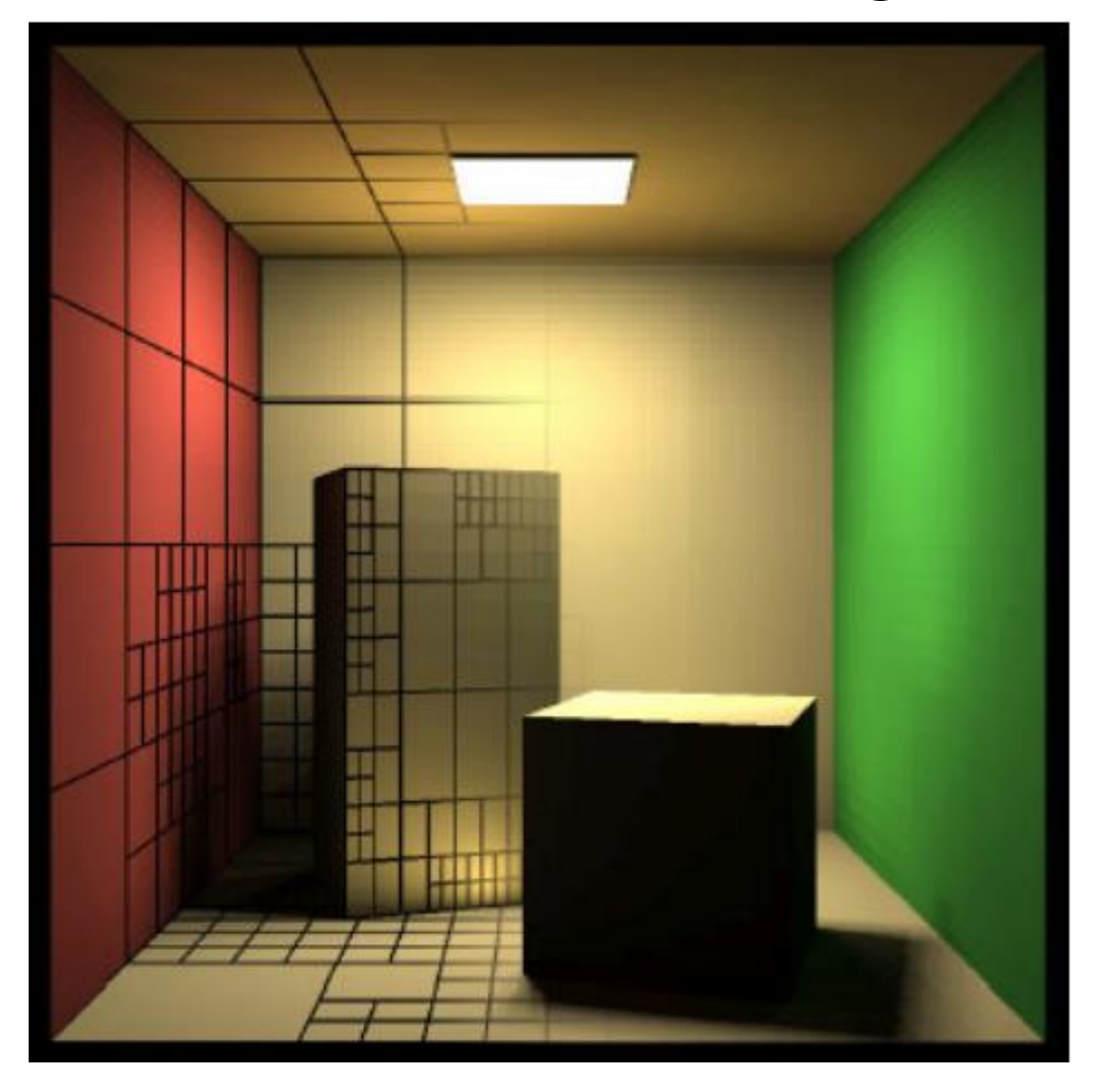


Выигрыш в progressive refinement method (метод прогрессивного уточнения оценок)

• Выигрыш в **скорости расчётов** и **экономия** необходимой для вычислений **памяти** в progressive refinement method оказались настолько велики, что этот метод **впервые** позволил реализовать расчёт radiosity **в практических приложениях** и даже успешно **применяется в приложениях реального времени**.

## Progressive refinement method with substructuring

• усовершенствованный progressive refinement method with substructuring (адаптивно разбивает патчи на более мелкие по площади в областях с тоновым градиентом — например, на границах теней).



## Wavelet radiosity

- Wavelet метод использует динамическое представление поверхностей патчами в зависимости от расстояния поверхностей друг от друга.
- Например, если поверхность A расположена далеко от поверхности Б, то для расчёта вклада radiosity от поверхности A используется грубое представление большими патчами поверхности A.
- Если рассчитывается radiosity поверхности С, расположенной близко к А, то в этом случае А описывается точно, большим количеством патчей.

#### Практическое использование

- В практических приложениях в основном используется усовершенствованный **progressive** refinement method with substructuring (адаптивно разбивает патчи на более мелкие по площади в областях с тоновым градиентом например, на границах теней).
- progressive refinement дает лучшие результаты в простых сценах, wavelet radiosity в больших сложных сценах с множеством объектов. Однако, wavelet radiosity использует гораздо большее количество памяти в вычислениях

## Stochastic Relaxation Radiosity, или SRR

- Этот алгоритм расчетов применяется в 3ds max, начиная с шестой версии
- Он основывается на применении метода **Монте-Карло** (М-К) как для решения матричных уравнений radiosity, так и уравнений progressive refinement method.
- В данном случае метод М-К используется для оценки величины суммы вкладов radiosity всех патчей в данный (или вкладов данного патча во все остальные патчи) по величине вкладов части из них.
- Другими словами, этот метод позволяет вычислять не все вклады, а только часть из них, выбранных по некоторому случайному закону. Кроме того он же позволяет при вычислениях вкладов избежать вычислений форм-факторов.

# Общий алгоритм Stochastic Relaxation Radiosity:

- Берем первый патч и на его поверхности некоторым случайным образом выбираем N точек.
- Из каждой точки под некоторым случайным углом испускается луч.
- Луч трассируется до пересечения с ближайшим патчем.
- Вероятность того, что луч пересечет именно этот патч, а не другой, определяется величиной форм-фактора двух соответствующих патчей.
- Именно это обстоятельство позволяет исключить вычисление форм-фактора из вычислений вкладов.

# Общий алгоритм Stochastic Relaxation Radiosity:

• Вклад і-го патча, с которым пересёкся луч вычисляется по формуле:

$$\mathbf{B}_j = \mathbf{B}_j + \frac{1}{N} \, \mathbf{\rho}_j \, \mathbf{B}_i$$

- После расчета вкладов от N случайных патчей, переходим к следующему патчу.
- После перебора всех патчей данная итерация закончена, переходим к следующей, пока величина вкладов не станет меньше заданной величины.

## Stochastic Relaxation Radiosity

- Для каждого выбранного патча расчёт вкладов в него от всех остальных патчей заменяется на расчёт **N** вкладов от случайно выбранных патчей, где *N* число сэмплирующих поверхность патча лучей.
- В теории Stochastic Relaxation Radiosity получены математические формулы, определяющие количество сэмплирующих лучей N в зависимости от требуемой точности вычисления значений радиосити.
- Значение **N индивидуально для каждого патча сцены** и вычисляется для каждого патча по отдельности, но **один раз для всех итераций**.
- Кроме того, **при вычислении N** требуется рассчитывать **значения форм-факторов** данного патча со всеми остальными, так что совсем без форм-факторов обойтись всё же не удастся.

# Stochastic Relaxation Radiosity

- Stochastic Relaxation Radiosity обеспечивает гораздо более быстрый расчёт радиосити и требует меньше памяти для вычислений, чем все другие рассмотренные методы.
- Есть одно обстоятельство, которое необходимо учитывать при использовании SRR случайность природы расчётов. Это значит, что вполне вероятны ситуации, когда некоторые мелкие детали в сцене могут "выпасть" из расчетов, если лучи в них не "попали". Для исправления такого положения алгоритм расчёта радиосити предусматривает механизм дополнительного сбора (regathering) излучения за счёт испускания дополнительных лучей.

#### Итог — История развития алгоритма

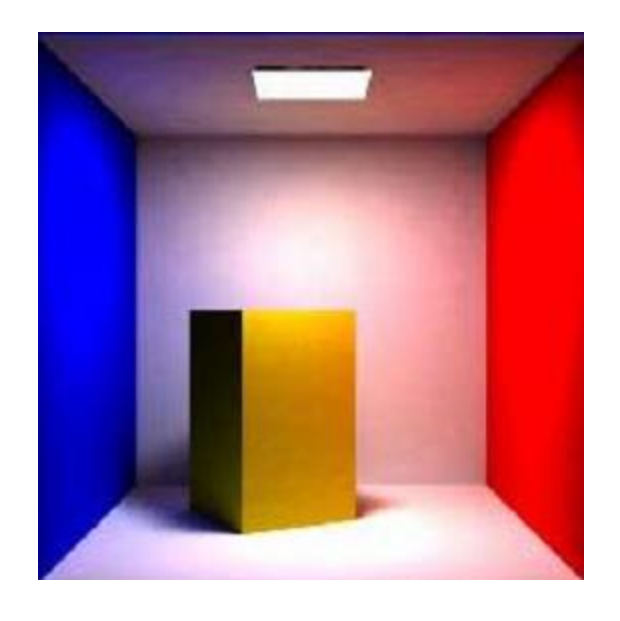
- В ранних версиях radiosity для отображения результата на экране необходимо было полностью просчитать распространение света и освещённость элементов.
- В 1988 разработан метод прогрессивного уточнения: немедленное отображение результата, который со временем уточнялся.
- В 1999 изобретена техника стохастической релаксации излучаемости (Stochastic Relaxation Radiosity).
- Этот алгоритм составляет основу коммерческих radiosity-систем производимых компанией Discreet.

#### Ray-Tracing vs Radiosity

#### **Ray-Tracing**

- Точно рассчитывает прямое освещение, тени, отражения и эффекты прозрачности
- Экономит память
- Ресурсоёмкий. Время на производство картинки очень зависит от количества источников света в сцене
- Процесс должен повторяться для каждой точки обзора заново
- Не учитывает диффузного переотражения

## Ray-Tracing vs Radiosity

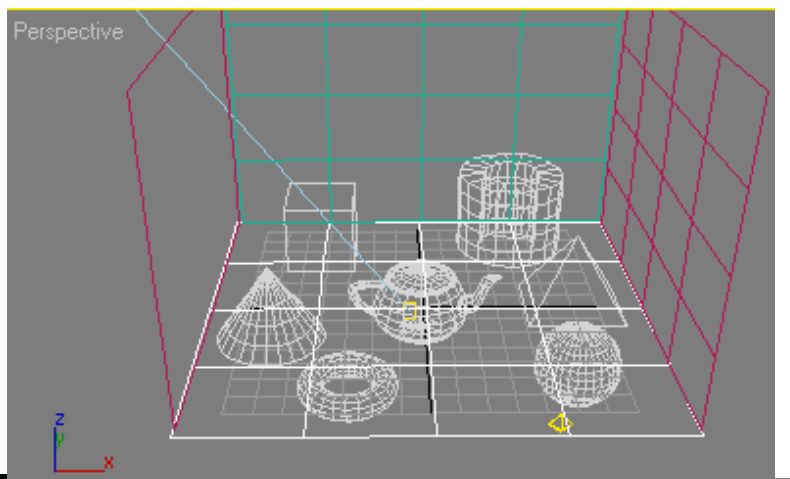


#### **Radiosity**

- Рассчитывает диффузное переотражение от поверхностей (один раз для каждого нового положения источников света)
- Производит независимые решения, для быстрой визуализации из любой точки обзора
- Предлагает непосредственные визуальные эффекты
- 3D-сетка требует больше памяти, чем оригинальные поверхности
- Алгоритм дискретизации поверхности более восприимчив к артефактам, чем ray tracing
- Не работает с эффектами отражения или прозрачности

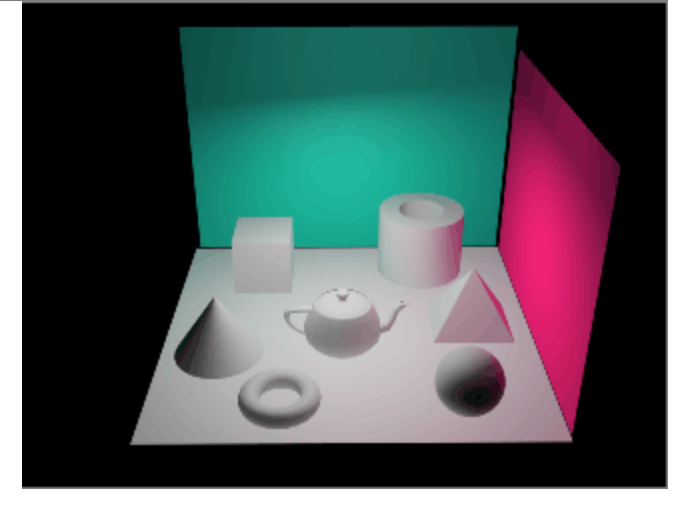
- В 3ds max для имитации **непрямого освещения** используется два алгоритма:
  - Radiosity (Излучательность)
  - **Light Trace** (Трассировка света)

# 3ds max — визуализация



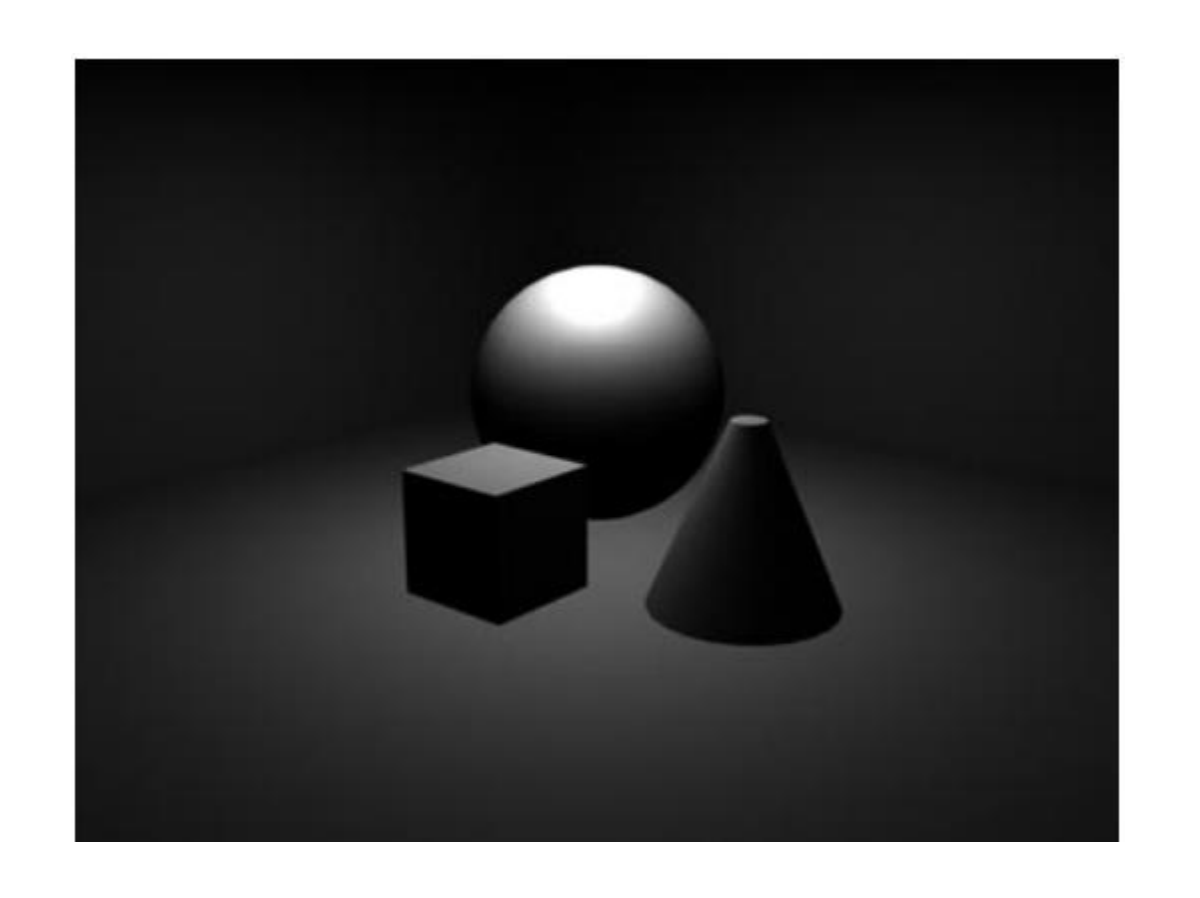


Визуализация сцены без использования Radiosity

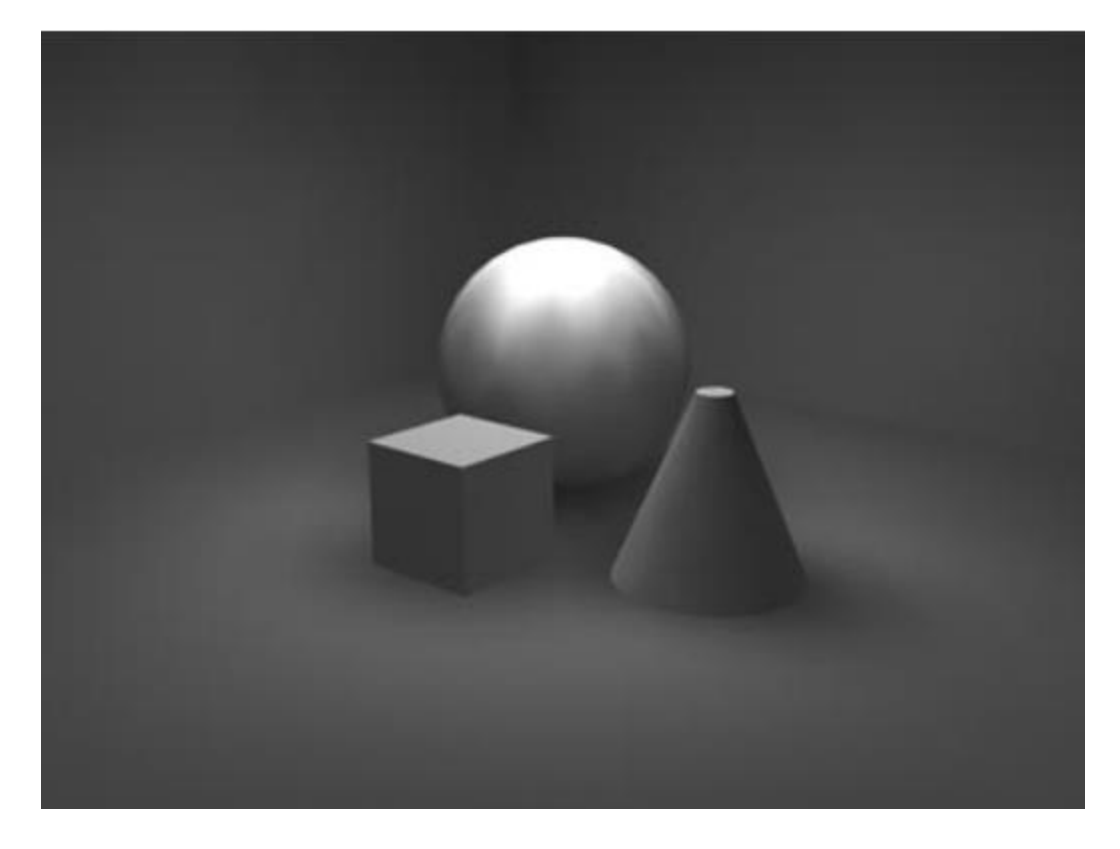


Результат визуализации сцены с учетом Radiosity

# Только прямое освещение. Скан-лайн рендер 3ds max 6.



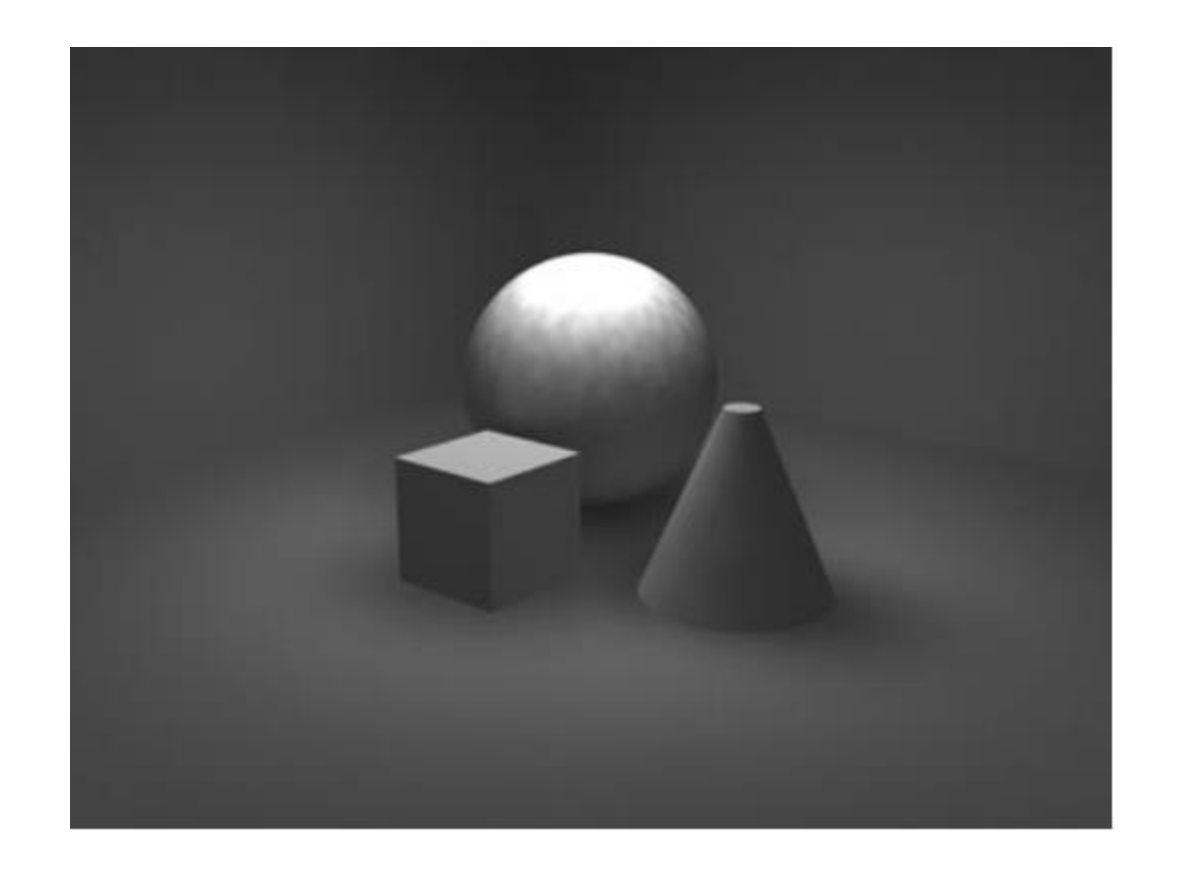
## Radiosity рендер 3ds max 6



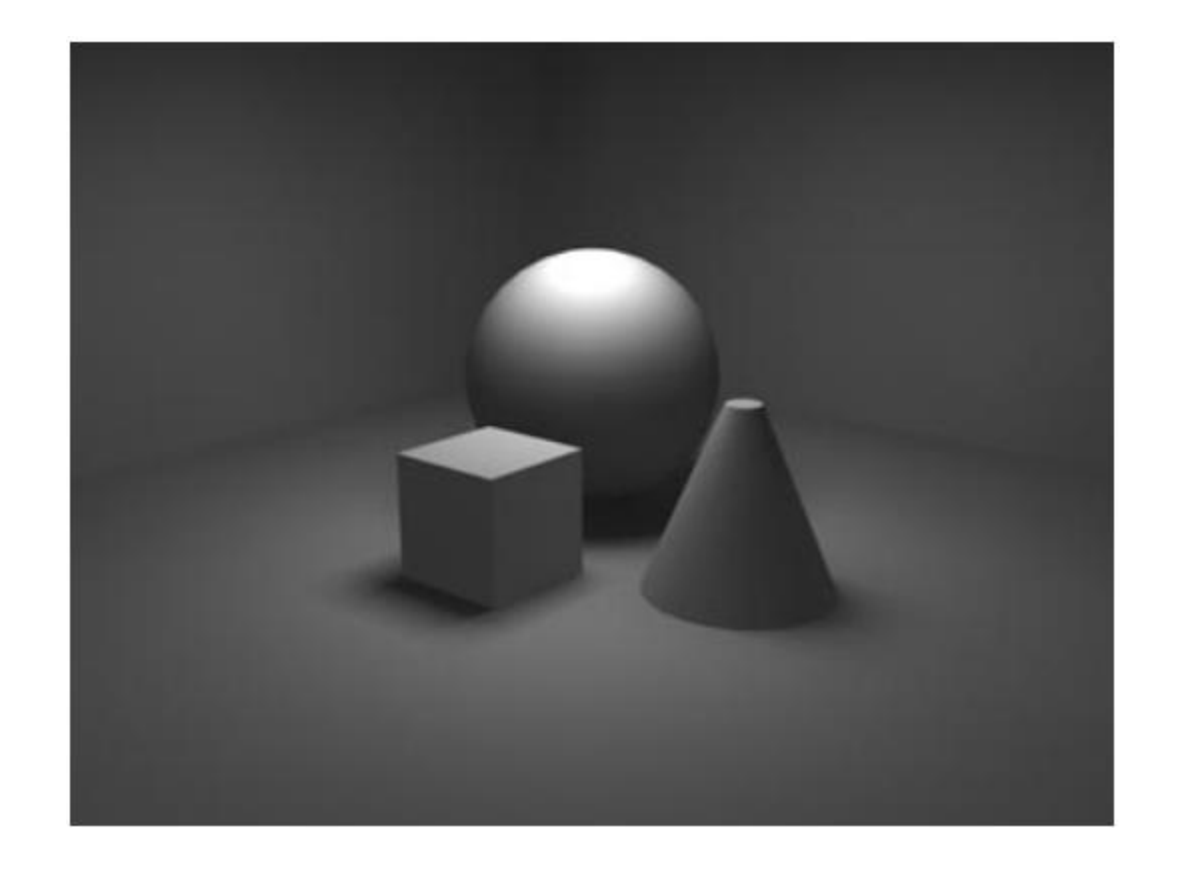
Только radiosity, без прямого освещения от источников света.

Хорошо заметен шум и полигонная структура сферы – результат использования модели Гуро для сглаживания значений radiosity для разных патчей (полигонов).

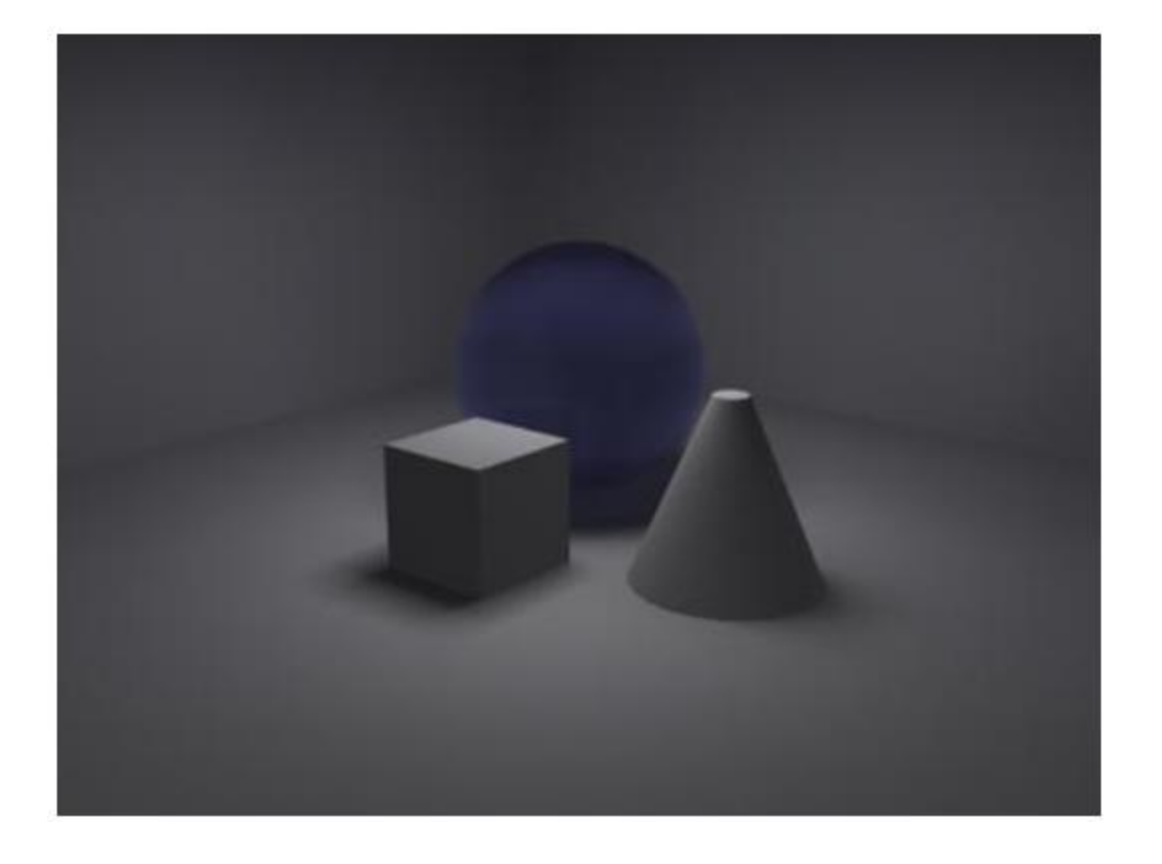
# Radiosity рендер 3ds max 6



Увеличение точности решения radiosity и количества патчей не устранили шум на сфере. На кубе и конусе шум отсутствует.



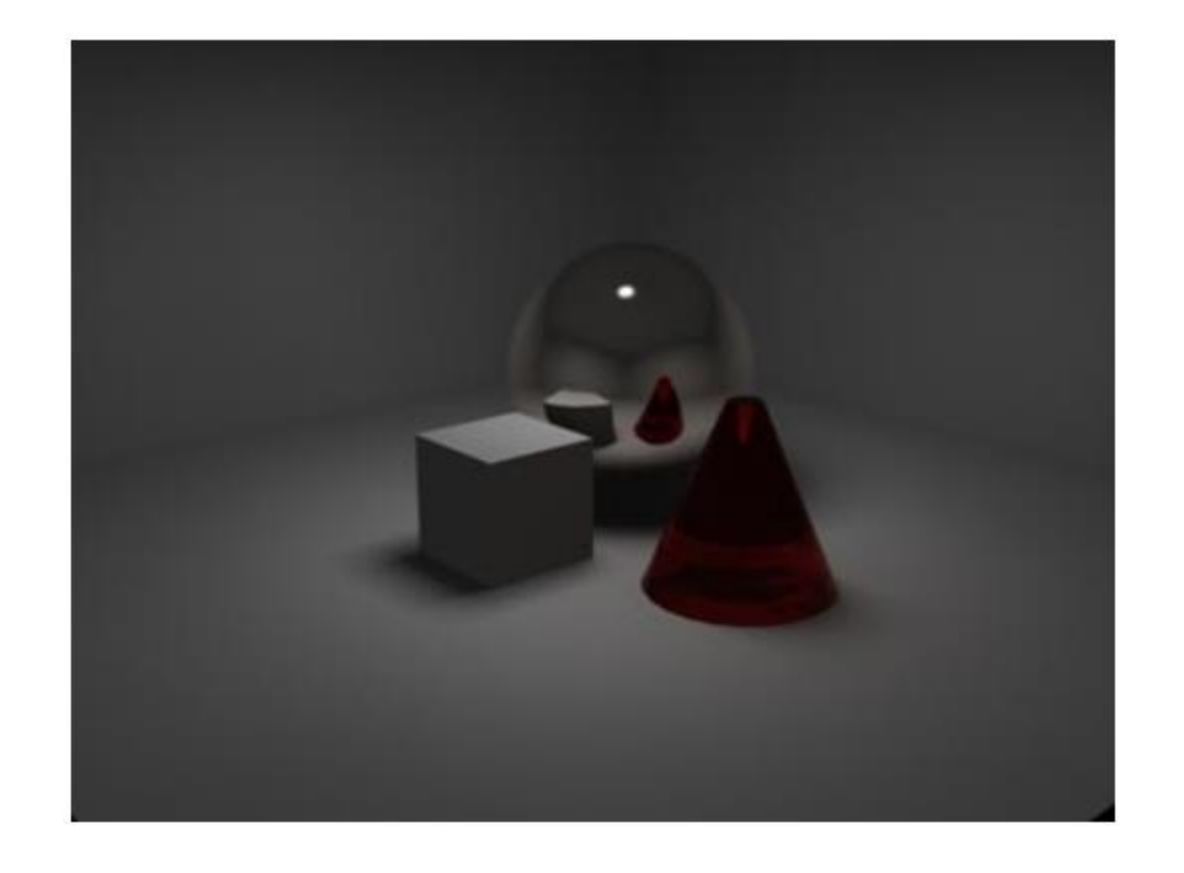
**Совместная работа скан-лайн рендера, рейтресера (тени) и radiosity 3ds max 6**. Шум не наблюдается, поскольку значения radiosity используются как добавка к расчету прямого освещения, использующего модель Фонга.



Сфере назначен прозрачный материал.

Пример совместной работы radiosity и рейтресинга 3ds max 6.

Хорошо заметен color bleeding – голубоватый оттенок на окружающих сферу объектах



**Сфере** назначен **отражающий** материал и **прозрачный** материал — **конусу**. Сканлайн рендер, рейтресинг, радиосити 3ds max 6.

# Cyberpunk 2077, A Plague Tale: Requiem и Microsoft Flight Simulator с улучшенной трассировкой лучей

https://shazoo.ru/2022/09/21/132646/cyberpunk-2077-a-plague-tale-requiem-i-microsoft-flight-simulator-s-ulucsennoi-trassirovkoi-lucei